

บทที่ 3

ทฤษฎีที่เกี่ยวข้อง

ปัจจุบันได้มีการพัฒนาความสามารถทางด้านโปรแกรมที่ใช้ในการแก้ปัญหาทางด้านกลศาสตร์ของ流体 ให้มีความแม่นยำถูกต้อง และง่ายต่อการใช้งาน ซึ่งสิ่งนี้จะเป็นเครื่องมือที่ใช้ในการวิเคราะห์ และออกแบบระบบที่เกี่ยวกับของ流体 ให้สะท杵 และประยุกต์เวลามากขึ้น

สมการเชิงอนุพันธ์ย่อย (Partial Differential Equation) ที่ใช้อธิบายลักษณะการ流体 ภายใต้เงื่อนไขที่กำหนด ซึ่งโดยทั่วไปแล้วสมการสำหรับการ流体มักสร้างขึ้นบนหลักการความสอดคล้องของสมการความต่อเนื่อง (Continuity Equation) สมการโมเมนตัม (Momentum Equation) และสมการพลังงาน (Energy Equation) หรือเรียกสมการทั้ง 3 นี้รวมกันว่า สมการควบคุม (Governing Equation) ซึ่งสมการทั้ง 3 นี้เป็นสมการ สมการเชิงอนุพันธ์ย่อย ไม่เชิงเส้น ที่ประกอบด้วยตัวแปรไม่ทราบค่าหลายตัวด้วยกัน ได้แก่ ตัวแปรความเร็วในทิศทางต่างๆ ตัวแปรความดัน ตัวแปรความหนาแน่น และตัวแปรอุณหภูมิ เป็นต้น โดยจำนวนตัวแปรที่ไม่ทราบค่าที่ปรากฏอยู่ในสมการ จะมีจำนวนขึ้นอยู่กับมิติที่ใช้การวิเคราะห์ และข้อมูลติดตามที่ตั้งขึ้นเพื่อใช้ในการวิเคราะห์ปัญหา การ流体นั้นๆ เช่น หากทำการวิเคราะห์ปัญหาเป็นแบบ 3 มิติ ก็จะมีตัวแปรความเร็ว ตัวแปรความดัน ตัวแปรความหนาแน่น และตัวแปรอุณหภูมิ เพิ่มขึ้นมากกว่าการวิเคราะห์แบบ 2 มิติ อีกหนึ่งทิศทาง หรือหากตั้งข้อมูลติดตามให้ของ流体 เป็นการ流体 ในสภาวะคงตัวจะส่งผลให้ค่าความหนาแน่น เป็นค่าคงที่ ที่ทราบค่าและไม่ต้องคำนวณหา แต่ในทางกลับกันหากของ流体 เป็นการ流体 ในสภาวะ ไม่คงตัว (Compressible Flow) ค่าความหนาแน่นจะเป็นตัวแปรที่ไม่ทราบค่าเพิ่มขึ้นมาในสมการ อีกหนึ่งตัว เป็นต้น

ดังนั้นเพื่อให้จ่ายต่อกำไรเข้าใจ และเป็นไปในทิศทางเดียวกัน การสร้างสมการเชิงอนุพันธ์ ย่อยต่อไปนี้ จะต้องอยู่บนสมมุติฐานภายใต้เงื่อนไขหลักของการวิเคราะห์ที่กำหนดไว้ดังนี้ คือ เป็นปัญหาการ流体แบบคงที่ (Steady Flow) ในสภาวะคงตัว (Incompressible Flow) ในทิศทาง 3 มิติ และไม่มีคิดการแพร่รังสีความร้อน

1. ระเบียบวิธีพลศาสตร์ของ流体เชิงคำนวณ (Computational Fluid Dynamics, CFD)

ระเบียบวิธีพลศาสตร์ของ流体เชิงคำนวณ เป็นการวิเคราะห์ระบบที่เกี่ยวกับการ流体 การถ่ายโอนความร้อน และปราภูมิการณ์อื่นๆ ที่เกี่ยวข้องกับการ流体 และการถ่ายโอนความร้อน เช่น ปฏิกิริยาเคมี โดยการทำการจำลองแบบในคอมพิวเตอร์ ซึ่งในปัจจุบันเป็นที่นิยมมากเนื่องจาก

เครื่องคอมพิวเตอร์มีประสิทธิภาพสูง และโปรแกรมทางพลศาสตร์ของไฮลในปัจจุบันก็ออกแบบมาให้ง่ายต่อความเข้าใจ และสะดวกในการใช้งาน

1.1 สมการความต่อเนื่อง (Continuity Equation)

พิจารณาภูมิภาคที่มีมวลของปริมาตรควบคุม (Control Volume)

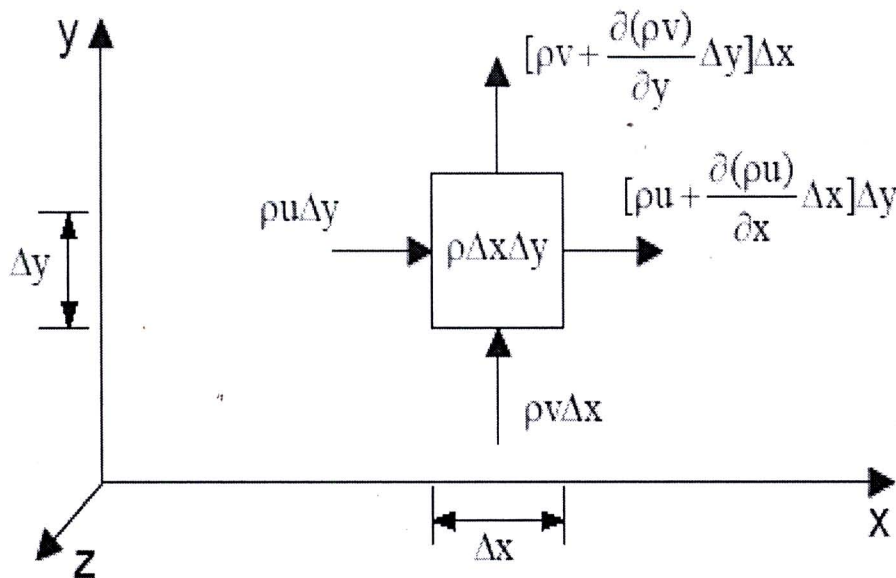
$$\frac{\partial M_{cv}}{\partial t} = \sum_{inlet ports} \dot{m} - \sum_{outlet ports} \dot{m} \quad (3-1)$$

โดยที่ M_{cv} คือมวลภายในปริมาตรควบคุม ณ เวลา t และ \dot{m} คืออัตราการไหลเข้าและออกปริมาตรควบคุม พิจารณาปริมาตรควบคุมใน 2 มิติ ภาพที่ 1 ให้ u และ v เป็นส่วนประกอบของความเร็วเฉพาะที่ ณ จุด (x,y) สมการที่ (3-1) สามารถเขียนใหม่ได้ดังนี้

$$\frac{\partial}{\partial t}(\rho \Delta x \Delta y) = \rho u \Delta y + \rho v \Delta x - \left[p u + \frac{\partial(pu)}{\partial x} \Delta x \right] \Delta y - \left[p v + \frac{\partial(pv)}{\partial y} \Delta y \right] \Delta x \quad (3-2)$$

นำ $\Delta x \Delta y$ มาหารสมการ (3-2) ตลอดสมการ จะได้สมการที่ (3-3) ซึ่งเป็นสมการความต่อเนื่องใน 2 มิติ

$$\frac{\partial p}{\partial t} + \frac{\partial(pu)}{\partial x} + \frac{\partial(pv)}{\partial y} = 0 \quad (3-3)$$



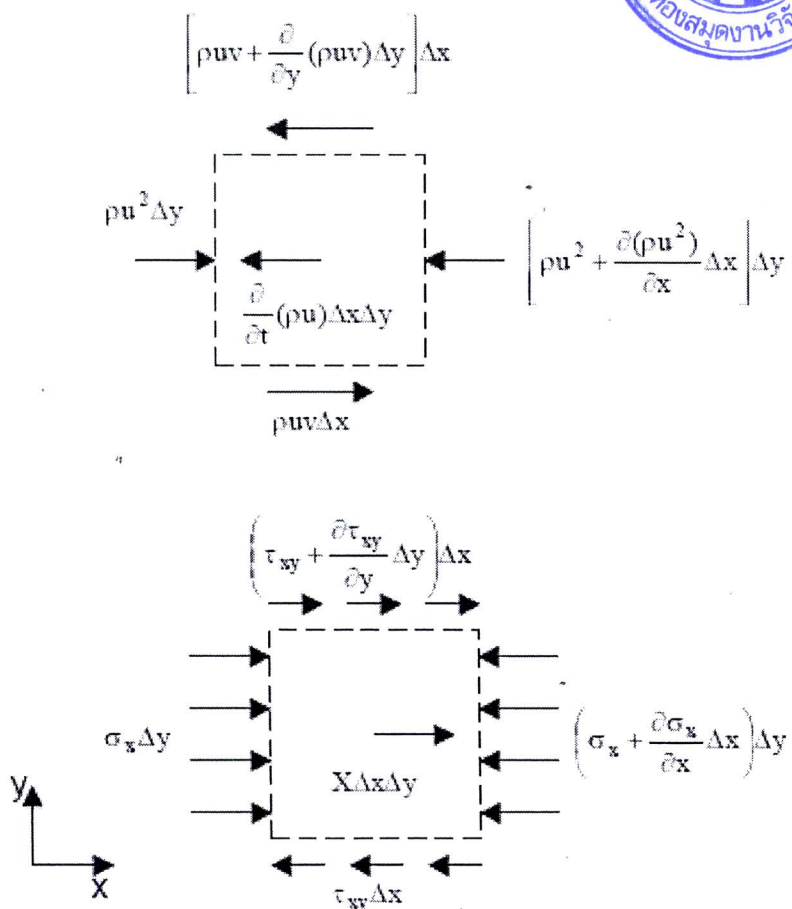
ภาพที่ 1 สมดุลมวลในระบบพิกัดจาก 2 มิติ

1.2 สมการโมเมนตัม (Momentum Equation)

พิจารณาสมดุลของแรงที่เกิดขึ้นทันทีทันใดบนปริมาตรควบคุม

$$\frac{\partial}{\partial t} (Mv_n)_{cv} = \sum_{inlet ports} F_n + \sum_{outlet ports} \dot{m}v_n - \sum_{outlet ports} \dot{m}v_n \quad (3-4)$$

โดย n เป็นทิศทางที่เลือกใช้ในการวิเคราะห์ และ (v_n, F_n) เป็นโปรดักชันของความเร็วขององไหล และแรงที่กระทำในแนว n



ภาพที่ 2 สมดุลแรงในแนว x บนปริมาตรควบคุมใน 2 มิติ

พิจารณาปริมาตรควบคุมของการไหลใน 2 มิติ ภาพที่ 2 เราสามารถพิจารณาสมดุลของแรงได้ 2 แนว คือ ในแนว x และในแนว y ในขั้นแรกจะพิจารณาแรงในแนว x ก่อน เมื่อแตกเร่งทั้งหมดให้อยู่ในแนว x จะได้ว่า

$$\begin{aligned} & \frac{\partial}{\partial t}(pu\Delta x\Delta y) + pu^2\Delta y - \left[pu^2 + \frac{\partial}{\partial x}(pu^2)\Delta x \right]\Delta y + puv\Delta x - \left[puv + \frac{\partial}{\partial x}(puv)\Delta y \right]\Delta x \\ & + \sigma_x\Delta y - \left(\sigma_x + \frac{\partial\sigma_x}{\partial x}\Delta x \right)\Delta y - \tau_{xy}\Delta x + \left(\tau_{xy} + \frac{\partial\tau_{xy}}{\partial y}\Delta y \right)\Delta x + X\Delta x\Delta y = 0 \end{aligned} \quad (3-5)$$

สำนักงานคณะกรรมการวิจัยแห่งชาติ
ห้องสมุดงานวิจัย
วันที่ 05.๓.2555
เลขที่บัตรประชาชน..... 249154
ลงชื่อ.....

นำ $\Delta_x \Delta_y$ มาหารสมการ (3-5) ตลอดสมการ (โดย $(\Delta_x \Delta_y) \rightarrow 0$) จะได้

$$p \frac{Du}{Dt} + u \left[\frac{Dp}{Dt} + p \left(\frac{\partial u}{\partial x} + \frac{\partial v}{\partial y} \right) \right] = - \frac{\partial \sigma_x}{\partial x} + \frac{\partial \tau_{xy}}{\partial y} + X \quad (3-6)$$

และจากความสัมพันธ์ในเชิงเอนิพริกับของ σ_x และ τ_{xy}

$$\begin{aligned} \sigma_x &= P - 2\mu \frac{\partial u}{\partial y} + \frac{2}{3}\mu \left(\frac{\partial u}{\partial x} + \frac{\partial v}{\partial y} \right) \\ \tau_{xy} &= \mu \left(\frac{\partial u}{\partial y} + \frac{\partial v}{\partial x} \right) \end{aligned} \quad (3-7)$$

แทนสมการที่ (3-7) ลงในสมการที่ (3-6) จะทำให้ได้สมการนาเวียร์-สโตกส์ (Navier-Stokes Equation)

$$p \frac{Du}{Dt} = - \frac{\partial P}{\partial x} + \frac{\partial}{\partial x} \left[2\mu \frac{\partial u}{\partial x} - \frac{2\mu}{3} \left(\frac{\partial u}{\partial x} + \frac{\partial v}{\partial y} \right) \right] + \frac{\partial}{\partial y} \left[\mu \left(\frac{\partial u}{\partial x} + \frac{\partial v}{\partial y} \right) \right] + X \quad (3-8)$$

ส่วนสมดุลของแรงในแนวแกน y ก็สามารถทำได้ในทำนองเดียวกัน ซึ่งเขียนได้ดังนี้

$$p \frac{Dv}{Dt} + \frac{\partial P}{\partial y} + \frac{\partial}{\partial y} \left[2\mu \frac{\partial v}{\partial y} - \frac{2\mu}{3} \left(\frac{\partial u}{\partial x} + \frac{\partial v}{\partial y} \right) \right] + \frac{\partial}{\partial x} \left[\mu \left(\frac{\partial u}{\partial x} + \frac{\partial v}{\partial y} \right) \right] + Y \quad (3-9)$$

โดยที่ Material Derivative นิยามโดยสมการที่ (3-10)

$$\frac{D}{Dt} = \frac{\partial}{\partial t} + u \frac{\partial}{\partial x} + v \frac{\partial}{\partial y} \quad (3-10)$$

1.3 Turbulent Model

การจำลองแบบปั่นป่วนเป็นการคำนวณของระบบปิดของการไหลแบบเฉลี่ย (Mean Flow) ตามสมการดังต่อไปนี้

ตารางที่ 1 แสดง Turbulent Flow Equations for Compressible Flows

Continuity

$$\frac{\partial p}{\partial t} + \operatorname{div}(pU) = 0$$

Reynolds equations

$$\begin{aligned}\frac{\partial(pU)}{\partial t} + \operatorname{div}(pUU) &= -\frac{\partial P}{\partial x} + \operatorname{div}(\mu \operatorname{grad} U) + \left[-\frac{\overline{pu'^2}}{\partial x} - \frac{\partial(\overline{pu'v'})}{\partial y} - \frac{\partial(\overline{pu'w'})}{\partial z} \right] + S_{Mx} \\ \frac{\partial(pV)}{\partial t} + \operatorname{div}(pVU) &= -\frac{\partial P}{\partial y} + \operatorname{div}(\mu \operatorname{grad} V) + \left[-\frac{\partial(\overline{pv'^2})}{\partial y} - \frac{\partial(\overline{pu'v'})}{\partial x} - \frac{\partial(\overline{pv'w'})}{\partial z} \right] + S_{My} \\ \frac{\partial(pW)}{\partial t} + \operatorname{div}(pWU) &= -\frac{\partial P}{\partial z} + \operatorname{div}(\mu \operatorname{grad} W) + \left[-\frac{\partial(\overline{pw'^2})}{\partial z} - \frac{\partial(\overline{pu'w'})}{\partial x} - \frac{\partial(\overline{pv'w'})}{\partial y} \right] + S_{Mz}\end{aligned}$$

Scalar transport equation

$$\partial \frac{(p\Phi)}{\partial t} + \operatorname{div}(p\Phi U) = \operatorname{div}(\Gamma_\Phi \operatorname{grad} \Phi) + \left[-\frac{\partial(\overline{pu'\phi'})}{\partial x} - \frac{\partial(\overline{pv'\phi'})}{\partial y} - \frac{\partial(\overline{pw'\phi'})}{\partial z} \right] + S_\Phi$$

ชี้งการคำนวณจะพิจารณาผลกราฟแบบปั่นป่วนของการไหลเฉลี่ยเราต้องการนิพจน์สำหรับสมการ Reynold Stress และเทอมของ Turbulent Scalar Transport ในสมการ Scalar Transport ชี้งการใช้แบบจำลองแบบปั่นป่วนนี้จะนิยมใช้ในการเขียน CFD Code เพราะใช้ง่าย มีความแม่นยำ ประยุกต์ทรรพยากรของเครื่องคอมพิวเตอร์ในการ Run ดังแสดงในตาราง

ตารางที่ 2 แสดงวิธีการทาง CFD

Classical model	Base on (time-average) Reynolds equation
	<ol style="list-style-type: none"> 1. zero equation model-mixing length model 2. two-equation model-k-ϵ model 3. Reynold stresses equation model 4. algebraic stresses model
Large eddy simulation	Base on space-filtered equation

- ใน classical model the mixing length และ k- ϵ model จะพิจารณาบนพื้นฐานของ viscous stresses และ Reynold stresses ในการให้ผลลัพธ์ ซึ่งค่า Stress ทั้งสองจะพบได้บนด้านขวามือของ Momentum Equation ในการพิจารณาปัญหาการไหล Simple Turbulent Flow ชั้น Turbulent Level และ Turbulent Stresses จะเปลี่ยนแปลงจากจุดหนึ่งไปสู่จุดหนึ่ง ในการไหล
- Mixing Length Model จะศึกษาในรายละเอียดของ Stresses โดย Mean of Simple Algebraic ของสูตรสำหรับ μ_i ซึ่งจะอยู่ในรูปของฟังก์ชันตำแหน่ง
- k- ϵ Model จะสนใจรายละเอียดของการไหลแบบปั่นป่วน โดยจะพิจารณาถึงอิทธิพลของการส่งถ่ายคุณสมบัติของการปั่นป่วนโดยการไหลเฉลี่ย และการแพร่ โดยสมการ การส่งถ่ายจะสนิใจ 2 สมการ ซึ่งเป็น (Partial Differential Equation PDEs)
- สมการ Turbulent Kinetic Energy (k)
- สมการ Rate of Dissipation ของ Trubulent Kinetic Energy(ϵ)
- ทั้งสอง Model ข้างต้นจะใช้บนข้อสมมุติ คือ มีลักษณะทางกายภาพของ Turbulent Viscosity (μ_t) เหมือนกัน หรือพูดอีกอย่างก็คือ มีอัตราส่วนของค่า Reynold Stresses กับค่าของอัตราเฉลี่ยของการเปลี่ยนรูปมีค่าเท่ากันทุกทิศทุกทาง

1.4 The k-ε Model

วิธีการของ k-ε Model จะสนใจ Mechanism ของผลกระทบ The Turbulent Kinetic Energy จากสมการ Navier-Stokes

- เป็น Incompressible Flow
- Constant Viscosity

พิจารณา Vector ความเร็ว U ซึ่งประกอบไปด้วย x-component u , y-component v , z-component w

$$\operatorname{div} U = 0 \quad (3-11)$$

$$\frac{\partial u}{\partial t} + \operatorname{div}(uU) = -\frac{1}{p} \frac{\partial P}{\partial x} + \nu \operatorname{div}(\operatorname{grad} u) \quad (3-12)$$

$$\frac{\partial v}{\partial t} + \operatorname{div}(vU) = -\frac{1}{p} \frac{\partial P}{\partial y} + \nu \operatorname{div}(\operatorname{grad} v) \quad (3-13)$$

$$\frac{\partial w}{\partial t} + \operatorname{div}(wU) = -\frac{1}{p} \frac{\partial P}{\partial z} + \nu \operatorname{div}(\operatorname{grad} w) \quad (3-14)$$

ในสมการ (3-11) - (3-14) สามารถแทนตัวแปรการไหล $U(u, v, w)$ เนื่องจาก อิทธิพลของ Fluctuation และความดัน ด้วยผลรวมของค่าเฉลี่ย และส่วนประกอบของ Fluctuating

$$U = U + U', u = U + u', v = V + v', w = W + w'; p = P + p'$$

พิจารณาสมการความต่อเนื่อง (3-11) โดยกำหนดให้ $\overline{\operatorname{div} u} = \operatorname{div} U$ เป็นจุด Yield ของสมการ Continuity สำหรับการไหลเฉลี่ย

$$\operatorname{div} U = 0 \quad (3-15)$$

จะพิจารณาสมการ (3-12) ก่อน โดยพิจารณาที่เวลาเฉลี่ย จะทำให้เขียนเทอมต่างๆ ให้อยู่ในรูปสมการได้ดังนี้

$$\frac{\bar{\partial u}}{\partial t} = \frac{\partial U}{\partial t}; \overline{div(uU)} = div(UU) + div(\bar{u'u'})$$

$$-\frac{1}{p} \overline{\frac{\partial P}{\partial x}} = -\frac{1}{p} \frac{\partial P}{\partial x}; v \overline{div(grad u)} = v div(grad U)$$

จะสามารถเขียนสมการเวลาเฉลี่ยของ x-momentum equation ได้ดังนี้

$$\frac{\partial U}{\partial t} + div(UU) + div(\bar{u'u'}) = -\frac{1}{p} \frac{\partial P}{\partial x} + v div(grad U) \quad (3-16a)$$

เพราะฉะนั้น ในสมการในแนวแกนอื่นๆ ก็พิจารณาเหมือนกันจะได้

$$\frac{\partial V}{\partial t} + div(VU) + div(\bar{v'u'}) = -\frac{1}{p} \frac{\partial P}{\partial y} + v div(grad V) \quad (3-16b)$$

$$\frac{\partial W}{\partial t} + div(WU) + div(\bar{w'u'}) = -\frac{1}{p} \frac{\partial P}{\partial z} + v div(grad W) \quad (3-16c)$$

แต่ในเทอมที่ 3 จะมีการเปลี่ยนแปลงเมื่อมีการเพิ่มการพิจารณา Turbulent Stresses บน Mean Velocity Component u, v, w จะได้รูปใหม่เป็น

$$\frac{\partial U}{\partial t} + div(UU) = -\frac{1}{p} \frac{\partial P}{\partial x} + v div(grad U) + \left[-\frac{\partial \bar{u'^2}}{\partial x} - \frac{\partial \bar{u'v'}}{\partial y} - \frac{\partial \bar{u'w'}}{\partial z} \right] \quad (3-17)$$

$$\frac{\partial V}{\partial t} + div(VU) = -\frac{1}{p} \frac{\partial P}{\partial y} + v div(grad V) + \left[-\frac{\partial \bar{v'^2}}{\partial y} - \frac{\partial \bar{u'v'}}{\partial x} - \frac{\partial \bar{v'w'}}{\partial z} \right] \quad (3-18)$$

$$\frac{\partial W}{\partial t} + \operatorname{div}(WU) = -\frac{1}{p} \frac{\partial P}{\partial z} + v \operatorname{div}(\operatorname{grad} W) + \left[-\frac{\partial \overline{w'^2}}{\partial z} - \frac{\partial \overline{u'w'}}{\partial x} - \frac{\partial \overline{v'w'}}{\partial y} \right] \quad (3-19)$$

Governing Equation สำหรับ Mean Flow Kinetic Energy (K) สำหรับสมการ Mean Kinetic Energy (k) เกิดจากการคูณ U เข้ากับสมการ Component Reynold (3-17) จะได้

$$\frac{\partial(pK)}{\partial t} + \operatorname{div}(pKU) = \operatorname{div}(-PU + 2\mu UE_{ij} - pU\overline{u'_iu'_j}) - 2\mu E_{ij} \cdot E_{ij} + p\overline{u'_iu'_j} \cdot E_{ij} \quad (3-20)$$

$$(3-1) \quad (3-2) \quad (3-3) \quad (3-4) \quad (3-5) \quad (3-6) \quad (3-7)$$

หารือ

$$\begin{array}{c} \text{Rate of} \\ \text{change} \\ \text{of } K \end{array} + \begin{array}{c} \text{Transport} \\ \text{of } K \text{ by} \\ \text{convection} \end{array} = \begin{array}{c} \text{Transport} \\ \text{of } K \text{ by} \\ \text{pressure} \end{array} + \begin{array}{c} \text{Transport} \\ \text{of } K \text{ by} \\ \text{viscous} \\ \text{stresses} \end{array} + \begin{array}{c} \text{Transport} \\ \text{of } K \text{ by} \\ \text{Reynold} \\ \text{stresses} \end{array}$$

$$- \begin{array}{c} \text{Rate of} \\ \text{dissipation} \\ \text{of } K \end{array} + \begin{array}{c} \text{Turbulent} \\ \text{production} \end{array}$$

Governing Equation for Turbulent Kinetic Energy (k) คือ การคูณสมการ Instantaneous Navier-Stokes ด้วย Appropriate Fluctuating Velocity Component (ยกตัวอย่างเช่น คูณสมการ x-component equation ด้วย u') จะได้

$$\frac{\partial(pk)}{\partial t} + \operatorname{div}(pkU) = \operatorname{div}\left(-\overline{p'u'} + 2\mu\overline{u'e'_{ij}} - p\frac{1}{2}\overline{u'_iu'_ju'_j} - 2\mu\overline{e'_{ij}e'_{ij}} + p\overline{u'_iu'_j} \cdot E_{ij}\right) \quad (3-21)$$

$$(3-1) \quad (3-2) \quad (3-3) \quad (3-4) \quad (3-5) \quad (3-6) \quad (3-7)$$

หารือ

$$\begin{array}{c} \text{Rate of} \\ \text{change} \\ \text{of } k \end{array} + \begin{array}{c} \text{Transport} \\ \text{of } k \text{ by} \\ \text{convection} \end{array} = \begin{array}{c} \text{Transport} \\ \text{of } k \text{ by} \\ \text{pressure} \end{array} + \begin{array}{c} \text{Transport} \\ \text{of } k \text{ by} \\ \text{viscous} \\ \text{stresses} \end{array} + \begin{array}{c} \text{Transport} \\ \text{of } k \text{ by} \\ \text{Reynold} \\ \text{stresses} \end{array}$$

$$- \begin{array}{c} \text{Rate of} \\ \text{dissipation} \\ \text{of } k \end{array} + \begin{array}{c} \text{Turbulent} \\ \text{production} \end{array}$$

พิจารณาเทอม Viscous Dissipation (3-6) ในสมการ (3-21)

$$-2\mu e'_{ij} \cdot e'_{ij} = -2\mu(\overline{e'^2_{11}} + e'^2_{22} + e'^2_{33} + 2e'^2_{12} + 2e'^2_{13} + 2e'^2_{23}) \quad (3-22)$$

การกระจายเทอมที่มีค่าเป็น Negative ซึ่งจะอยู่ในรูปผลรวมของการยกกำลังของอัตราการเปลี่ยนรูป e'_{ij} ซึ่ง Dissipation ของ Turbulent Kinetic Energy จะเกิดปรากฏการณ์ Eddies ที่มีขนาดเล็กมากกับ Viscous Stressess ซึ่งค่าดังกล่าวจะอยู่ในหน่วยของ m^2/s^3 จะเขียนได้เป็น

$$\varepsilon = 2\nu \overline{e'^2_{ij}} \cdot e'_{ij} \quad (3-23)$$

1.5 The Standard k-ε Model

โนเดลที่สมบูรณ์ที่ง่ายที่สุดของ turbulence คือสองสมการ โนเดลที่ผลลัพธ์ของสมการสองสมการนี้ทำให้ Turbulent velocity และ length scales เป็นผลลัพธ์ที่เป็นอิสระต่อกัน The Standard k-ε โนเดลใน Fluent ได้ถูกใช้เป็น turbulence model ใช้งานกันจริง ด้านการคำนวณการไหลในทางวิศวกรรมตั้งแต่มันถูกค้นพบโดย Jones and Launder ความทันทัน ประยุกต์ และสมเหตุสมผลสำหรับ turbulence flow ในวงกว้างทำให้มันเป็นที่นิยมในการอุตสาหกรรมของก้าวหน้าและการออกแบบ The Standard k-ε โนเดลเป็นโนเดลกึ่งการทดลองที่ได้มาจากการสังเกตปรากฏการณ์จริง

ซึ่ง The Standard k-ε โนเดลใช้ transport equation ของ k และ ε ดังนี้

$$\frac{\partial(\rho k)}{\partial t} + \operatorname{div}(\rho k \mathbf{U}) = \operatorname{div}\left[\frac{\mu}{\rho_k} \operatorname{grad} k\right] - 2\mu_t E_{ij} \cdot E_{ij} - \rho \varepsilon \quad (3-24)$$

$$\frac{\partial(\rho \varepsilon)}{\partial t} + \operatorname{div}(\rho \varepsilon \mathbf{U}) = \operatorname{div}\left[\frac{\mu_t}{\rho_e} \operatorname{grad} \varepsilon\right] + C_{1e} \frac{\varepsilon}{k} 2\mu_t E_{ij} \cdot E_{ij} - C_{2e} \rho \frac{\varepsilon^2}{k} \quad (3-25)$$

หรือ

Rate of change of k or ε	+ $\operatorname{Transport}$ of k or ε by convection	$= \operatorname{Transport}$ of k or ε by diffusion	+ Rate of production of k or ε	+ Rate of destruction of k or ε
--	--	---	--	---

สมการดังกล่าวจะประกอบด้วยค่าคงที่ 5 ค่า คือ C_μ , σ_k , σ_e , C_{le} , C_{2e} ซึ่งค่าดังกล่าวจะหาได้จากการทดลอง

$$C_\mu = 0.09; \sigma_k = 1.00; \sigma_e = 1.30; C_{le} = 1.44; C_{2e} = 1.92$$

1.6 The RNG k-ε Model

RNG k-ε โมเดลได้มาจากการ rigorous statistical technique หรือที่เรียกว่า renormalization group theory รูปแบบจะเหมือนกับ standard k-ε โมเดล แต่จะรวมรายละเอียดดังข้างล่างนี้ลงไปด้วย

- RNG model มีเงื่อนไขเพิ่มเติมในสมการของ ε ที่ปรับปรุงความแม่นยำของ rapidly stained flows.

- ผลของ swirl ใน turbulence ถูกรวบไปใน RNG โมเดลทำให้ความแม่นยำของ swirling flows ดีขึ้น

- ทฤษฎีของ RNG มีการวิเคราะห์ Turbulent Prandtl numbers ขณะที่ standard k-ε โมเดลให้ผู้ใช้เป็นผู้กำหนด ค่าคงตัว

- ขณะที่ Standard k-ε โมเดลเป็นโมเดล high-Reynolds-number ทฤษฎีของ RNG จะมีการสูตรที่วิเคราะห์ความหนืดที่เหมาะสมที่จะอธิบายผลของ low-Reynolds-number อย่างไรก็ตามผลการใช้งานที่มีประสิทธิภาพเกินอยู่กับใช้ที่เหมาะสมกับบริเวณที่ใกล้ผนัง ลักษณะเด่นดังกล่าวทำให้ RNG k-ε โมเดลมีความแม่นยำและเชื่อถือได้กับลักษณะการไหลรูปแบบต่างๆ มากกว่า Standard k-ε โมเดล

Transport Equation for the RNG k-ε โมเดล RNG k-ε โมเดลมีรูปร่างเหมือนกับ standard k-ε โมเดล

$$p \frac{Dk}{Dt} = \frac{\partial}{\partial x_i} \left(\alpha k \mu_{\text{eff}} \frac{\partial k}{\partial x_i} \right) + G_k + G_b - p \in -Y_M \quad (3-26)$$

และ

$$p \frac{D\epsilon}{Dt} = \frac{\partial}{\partial x_i} \left(\alpha_\epsilon \mu_{\text{eff}} \frac{\partial \epsilon}{\partial x_i} \right) + C_{le} \frac{\epsilon}{k} (G_k + C_{2\epsilon} G_b) - C_{2\epsilon} p \frac{\epsilon^2}{k} - R \quad (3-27)$$

ในสองสมการนี้ G_k แสดงการเกิดของ turbulent kinetic energy เนื่องจากการเปลี่ยนแปลงของ mean velocity, G_b คือการกำเนิดของ turbulent kinetic energy เนื่องจาก buoyancy, Y_M แสดงถึงการมีส่วนร่วมของ fluctuating dilatation ใน compressible turbulence กับ dissipation rate โดยรวม, ปริมาณของ α_k และ α_ϵ คือ inverse effective Prandtl numbers สำหรับ k และ ϵ ตามลำดับ

Modeling the effective Viscosity

กระบวนการจัด scale ในทฤษฎีของ RNG มีผลใน differential equation สำหรับ turbulent viscosity

$$d\left(\frac{\rho^2 k}{\sqrt{\epsilon} \mu}\right) = 1.72 \frac{\hat{v}}{\sqrt{\hat{v}^3 - 1 + C_v}} d\hat{v} \quad (3-28)$$

โดยที่

$$\hat{v} = \mu_{\text{eff}} / \mu$$

$$C_v \approx 100$$

สมการ (3-28) ถูกรวบเพื่อที่จะอธิบายว่า effective turbulent transport เป็นไปตาม effective Reynolds number อย่างไร (หรือ eddy scale) และยังยอมให้ไม่เคลื่อนตัวตาม low-Reynolds-number และ near-wall flows ได้ดีอีกด้วย

ในขอบเขตของ high-Reynolds-number สมการ (28) ให้

$$\mu_t = \rho C_\mu \frac{k^2}{\epsilon} \quad (3-29)$$

ที่ $C_\mu = 0.0845$ ที่ได้มาจากการทฤษฎีของ RNG ที่นำสังเกตคือค่าของ C_μ สังเกตคือค่าจะใกล้เคียงกับค่าที่ได้จากการสังเกตจากการทดลอง 0.09 ที่ใช้ใน standard k- ϵ โมเดล

ใน FLUENT โดยปกติแล้ว Effective viscosity จะถูกคำนวณโดยสมการ high-Reynolds number (3-29) อย่างไรก็ตามยังมีอฟชั่นที่ยอมให้เลือก differential relation คือสมการที่ (3-28) เมื่อต้องการที่จะรวมผลของ low-Reynolds-number



RNG Swirl Modification

Turbulence โดยทั่วไปจะเกิดผลกระทนจากการหมุนหรือ Swirl ใน mean flow RNG ไม่เคลื่อนทางอฟชันที่จะอธิบายผลจาก swirl หรือการหมุนโดยการแก้ไข turbulent viscosity อย่างเหมาะสม การแก้ไขสมการข้างล่างนี้

$$\mu_t = \mu_{\text{lo}} f\left(\alpha_s, \Omega, \frac{k}{\epsilon}\right) \quad (3-30)$$

ขณะที่ μ_{lo} คือขนาดของ turbulent viscosity ที่ถูกคำนวณมากโดยไม่มีการแก้สำหรับ swirl ที่มาจากการ (28) และ (29) Ω คือหน้าตาของ swirl number ที่หาโดย FLUENT และ α_s คือ swirl constant ที่สมมุติค่าต่างๆขึ้นอยู่กับการไหลเป็นแบบ swirl-dominated หรือ เป็นเพียงแค่ mildly swirling การแก้ไข swirl จะมีผลสำหรับ axisymmetric swirling flow และ three-dimensional flows เมื่อ RNG ไม่เคลื่อนเลือก สำหรับ mildly swirling flows α_s จะถูกกำหนดให้เท่ากับ 0.05 และไม่สามารถที่จะแก้ไขได้ สำหรับ strongly swirling flows ค่า α_s ที่สูงขึ้นมาสามารถใช้ได้

การคำนวณ Inverse Effective Prandtl Numbers

Inverse Effective Prandtl Numbers α_k และ α_ϵ จะถูกคำนวณโดยการใช้สูตรดังข้างล่างที่ได้มาจากการทดลองของ RNG

$$\left| \frac{\alpha - 1.3929}{\alpha_0 - 1.3929} \right|^{0.6321} \left| \frac{\alpha - 2.3929}{\alpha_0 - 2.3929} \right|^{0.3679} = \frac{\mu_{\text{mol}}}{\mu_{\text{eff}}} \quad (3-31)$$

ขณะที่ $\alpha_0 = 1.0$ ในช่วงของ high-Reynolds-number limit

$$(\mu_{\text{mol}} / \mu_{\text{eff}} \ll 1), \alpha_k = \alpha_\epsilon \approx 1.393$$

The R Term in the ϵ Equation

ความแตกต่างหลักระหว่าง RNG และ standard k- ϵ ไม่เคลื่อนย้ายในพจน์เพิ่มเติมในสมการของ ϵ คือ

$$R = \frac{C_\mu \rho \eta^3 (1 - \eta / \eta_0)}{1 + \beta \eta^3} \frac{\epsilon^2}{k} \quad (3-32)$$

ขณะที่ $\eta \equiv Sk / \epsilon$, $\eta_0 = 4.38$, $\beta = 0.012$

ผลของพจน์นี้ในสมการ RNG ε สามารถเห็นได้ชัดขึ้น โดยการเรียบเรียงสมการ (3-27) การใช้สมการ (3-32) สองพจน์สุดท้ายในสมการ (3-27) สามารถนำรวมกันได้ และสามารถเขียนได้ใหม่เป็นดังข้างล่างนี้

$$\rho \frac{D\epsilon}{Dt} = \frac{\partial}{\partial x_i} \left(\alpha_\epsilon \mu_{\text{eff}} \frac{\partial \epsilon}{\partial x_i} \right) + C_{1\epsilon} \frac{\epsilon}{k} (G_k + C_{3\epsilon} G_b) - C_{2\epsilon}^* \rho \frac{\epsilon^2}{k} \quad (3-33)$$

$$\text{โดยที่ } C_{2\epsilon}^* \text{ คือ } C_{2\epsilon}^* \equiv C_{2\epsilon} + \frac{C_\mu \rho \eta^3 (1 - \eta / \eta_0)}{1 + \beta \eta^3} \quad (3-34)$$

ในบริเวณที่ $\eta < \eta_0$ พจน์ R จะมีผลทางด้านบวก และ $C_{2\epsilon}^*$ จะมีความมากกว่า $C_{2\epsilon}$ ใน logarithmic layer ยกตัวอย่างเช่น มันสามารถแสดงได้ว่า $\eta \approx 3.0$ $C_{2\epsilon}^* \approx 2.0$ ซึ่งจะค่อนข้างใกล้เคียงกับขนาดของ $C_{2\epsilon}^*$ ใน standard k- ε โนเดล เนื่องจากดังกล่าว สำหรับ strained flows แบบอ่อนๆและปานกลาง RNG โนเดลค่อนข้างจะให้ผลที่มากกว่าเมื่อเปรียบเทียบกับ standard k- ε โนเดล

ในบริเวณที่มี strain rate ค่อนข้างสูง ($\eta < \eta_0$) พจน์ R จะเป็นลบ ทำให้ค่าของ $C_{2\epsilon}^*$ น้อยกว่าค่าของ $C_{2\epsilon}^*$ และเมื่อเปรียบเทียบกับ standard k- ε โนเดล การตัดตอนของส่วนขยาย ε จะลด k และท้ายที่สุดจะมีผลกับ viscosity จากผลดังกล่าว ใน rapidly strained flows RNG โนเดล ให้ turbulent viscosity ที่ต่ำกว่า standard k- ε โนเดล

ดังนั้น RNG โนเดลจะมีการตอบสนองกับ rapid stain และ streamline curvature มากกว่า standard k- ε โนเดล นี่คือสาเหตุที่ทำให้ RNG มีประสิทธิภาพดีกว่าในการไหลบางประเภท

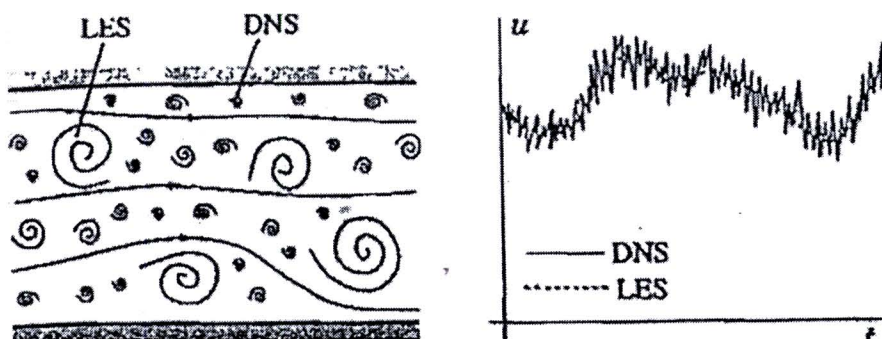
Model Constants

ค่า model constants $C_{1\epsilon}$ และ $C_{2\epsilon}$ ในสมการ (27) มีค่าที่ได้มากจากการวิเคราะห์ในทฤษฎีของ RNG ค่าเหล่านี้ถูกใช้ใน FLUENT คือ

$$C_{1\epsilon} = 1.42, \quad C_{2\epsilon} = 1.68$$

1.7 สมการการไหลดของแบบจำลองความปั่นป่วนแบบ Large Eddy Simulation

ในการไหลดแบบปั่นป่วนจะประกอบด้วยสเกลของความยาว (Length Scale) และสเกลของเวลา (Time Scale) ในย่านที่กว้าง ซึ่งนั่นก็คือย่านของขนาดເອັດດີທີ່อาจจะພນໃນไหลดดังທີ່ໄດ້ແສດງໄວ້ໃນກາພທີ່ 3 (ຫ້າຍ) ซົ່ງໃນຮູບນີ້ໄດ້ແສດງຄື່ອງກົດປອນຂອງความເຮົວ ໃນແຕ່ລະລັກມັນະ ໃນແດ່ລະຕາແໜ່ງຂອງກາຣໍ ເຮົາຈະເຫັນນາດຂອງສເກລດຳຕ່າງໆ ກະຈາຍອູ່ທຳໄປ (Fluctuate)



ກາພທີ່ 3 ກາຣເຄລື່ອນທີ່ຂອງກາຣໍ ໄහດແບບປັ້ນປ່ວນ (ຫ້າຍ) ແລະ ຄວາມສັນພັນຂອງເວລາກັບອົບປະກອບຂອງກາຣໍ (Ferziger J.H. et al, 2002)

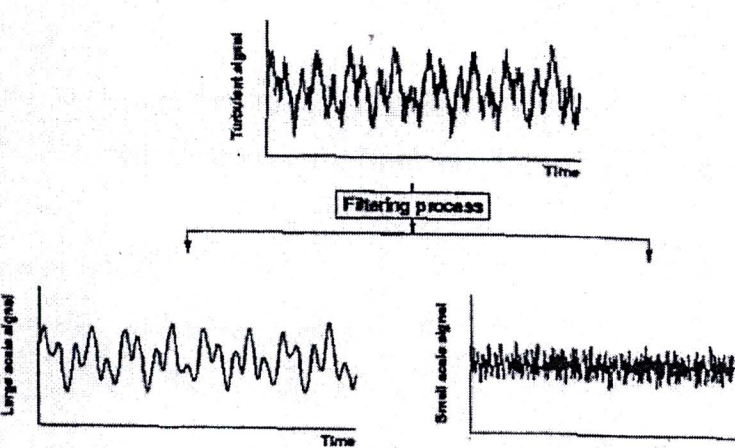
ຈາກຄວາມຈິງທີ່ວ່າ ສເກລນາດໄໝ່ໃນກະແສກາຣໍ ໄහດມີຜລກະທນ ໂດຍຕຽງຍ່າງ ນາກຕ່ອລັກມັນະກາຣໍ ໄහດແບບປັ້ນປ່ວນ ໂດຍໂຄຮງສ້າງແລະນາດຂອງສເກລນາດໄໝ່ຈະເຊື້ອກັບ 2ຮູປທຽງທີ່ອຮຣມ໌ຈາຕີຂອງກາຣໍ ໃນຂະໜາດທີ່ສເກລນາດເລື່ອນັ້ນຈະມີນາດແລະຮູປທຽງກ່ອນຄ້າງຄອງທີ່ໃນທຸກຮູປແບບກາຣໍ ໄහດ ອີກທີ່ພລັງຈານສ່ວນມາກໃນກາຣໍ ໄහດແບບປັ້ນປ່ວນຈະຄຸກແຜ່ອຍູ່ທີ່ສເກລນາດໄໝ່ ເຫຼຸ່ພລນີ້ເອງຈຶ່ງເປັນທີ່ມາຂອງຫລັກກາຮ່ອງວິທີກາຣໍຈຳລອງແບບລາຮ່ອງເອັດດີ ເນື່ອງຈາກວ່າສເກລນາດເລື່ອມີຜລກະທນນ້ອຍນາກຕ່ອກາຣໍ ໄහດແບບປັ້ນປ່ວນ ວິທີກາຣໍຈຳລອງແບບລາຮ່ອງເອັດດີ ຈຶ່ງໄມ່ສັນໃຈແລະທຳ

การจำลองสเกลขนาดเล็ก (Subgrid Scale Models) ส่วนสเกลขนาดใหญ่ซึ่งมีผลกระทบอย่างมากต่อการไหล วิธีการจำลองแบบลาร์จอีคดีจะทำการคำนวณหาผลเฉลยบนกริด ที่ใช้คำนวณ

การจำลองการไหลแบบลาร์จอีคดี เป็นการจำลองในสามมิติและเป็นการคำนวณมีเวลาเข้ามายิ่งขึ้น ดังแสดงในภาพที่ 3 (ข้าง) ทำให้การคำนวณมีความซับซ้อนมาก แต่ถึงอย่างไรก็ตามการคำนวณจะยังซับซ้อนน้อยกว่าการใช้ DNS เมื่อเทียบกับการไหลแบบเดียวกัน วิธี DNS จะถูกใช้เมื่อการไหลนั้นไม่ซับซ้อนเกินไป ส่วนวิธีการจำลองแบบลาร์จอีคดีนั้นจะเหมาะสมกับการไหลที่มีค่าตัวเลขเรียโนลต์สูงมากเกิน หรือรูปทรงมีความซับซอนมากเกินกว่าที่จะใช้วิธี DNS

สำหรับการคำนวณการไหลแบบปั่นป่วน สมการควบคุมการไหลทั้งสองจะถูกนำเข้าสู่กระบวนการกรอง (Filtering Process) เพื่อทำการแบ่งแยกตัวแปร Φ (โดยที่ Φ แทนค่าตัวแปรใดๆ ที่สนใจ เช่น U, V, W, หรือ P) ออกเป็นองค์ประกอบของสเกลขนาดใหญ่ (Large Scale, $\bar{\Phi}$) และองค์ประกอบของสเกลขนาดเล็ก (Small Scale, ϕ) ซึ่งสามารถแสดงได้ด้วยค่าสัญญาณของตัวแปรใดๆ ในการไหลแบบปั่นป่วน ดังแสดงในภาพที่ 4

$$\Phi = \bar{\Phi} + \phi \quad (3-35)$$



ภาพที่ 4 กระบวนการกรองเพื่อทำการแยกตัวแปร (Ferziger J.H. et al, 2002)

เมื่อนำสมการควบคุมการไหลทั้งสองเข้าสู่กระบวนการกรองจะได้สมการควบคุมการไหลที่มีการกรอง (Filtered Equations) ดังนี้

สมการอนุรักษ์มวล

$$\frac{\partial \bar{u}_i}{\partial x_j} = 0 \quad (3-36)$$

สมการโมเมนตัม

$$\frac{\partial \bar{u}_i}{\partial t} + \frac{\partial \bar{u}_i \bar{u}_j}{\partial x_j} = -\frac{1}{\rho} \frac{\partial \bar{P}}{\partial x_i} + \nu \frac{\partial}{\partial x_j} \left(\frac{\partial \bar{u}_i}{\partial x_j} \right) + \frac{\partial \tau_{ij}}{\partial x_j} \quad (3-37)$$

แบบจำลองสเกลขนาดเล็ก (Subgrid Scale Models)

แทนเชอร์ของสเกลขนาดเล็ก (Subgrid Scale Tensor, τ_{ij}) จะเป็นตัวแทนของผลของการรวมตัวของสเกลขนาดเล็กที่มีต่อการไหลแบบปั่นป่วน โดยเทอมนี้จะถูกจำลองลงในสมการการกรอง

ดังสมการ (3.11) โดยทั่วไปการจำลอง τ_{ij} จะยึดหลักเดียวกันกับแบบจำลองค่าสัมประสิทธิ์ความหนืดของเอ็ดดี้ (Eddy - Viscosity Model) ที่ว่า

$$\tau_{ij} = \nu_t \left(\frac{\partial \bar{u}_i}{\partial x_j} + \frac{\partial \bar{u}_j}{\partial x_i} \right) + \frac{1}{3} \tau_{kk} \delta_{ij} \quad (3-38)$$

ในการศึกษานี้ค่าสัมประสิทธิ์ความหนืดของเอ็ดดี้ (Eddy – Viscosity, ν_t) สามารถหาได้จากหลายแบบจำลอง สำหรับโปรแกรมการคำนวณทางพลศาสตร์ของไหล ฟลูเอน รุ่นที่ 12 (CFD Fluent V.12) นี้ แบบจำลองที่ใช้คือ แบบจำลองของสมการินสกี ลิลี่ (Smagorinsky-Lilly)

แบบจำลอง สมการรินสกี ลิลลี่

ในแบบจำลอง สมการรินสกี ลิลลี่ ค่าสัมประสิทธิ์ความหนืดเอ็คดี จะถูกจำลอง-
แบบโดย

$$v_t = \rho L_s^2 |\bar{S}| \quad (3-39)$$

โดยที่ L_s คือ ค่าเฉลี่ยความกว้างของการกรอง

C_s คือ ค่าคงที่ของสมการรินสกี = 0.1

และ

$$|\bar{S}| = \sqrt{2S_{ij}S_{ij}} \quad (3-40)$$

โดยที่

$$S_{ij} = \frac{1}{2} \left(\frac{\partial \bar{u}_i}{\partial x_j} + \frac{\partial \bar{u}_j}{\partial x_i} \right) \quad (3-41)$$

สำหรับโปรแกรมการคำนวณของฟลูอ่อน ค่า L_s จะถูกคำนวณจาก

$$L_s = \min (Kd, C_s V^{1/3}) \quad (3-42)$$

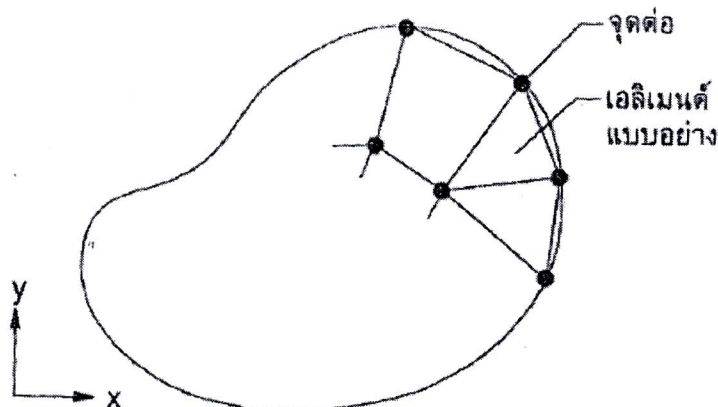
เมื่อ $K = 0.42$, d คือ ระยะที่ไกล์ผนังมากที่สุด และ V คือปริมาตรของเซลล์ที่ใช้
คำนวณ รายละเอียดเพิ่มเติมในหนังสือแนะนำการใช้งานโปรแกรมฟลูอ่อน (Fluent User's Guide
2001)

2. ระเบียบวิธีไฟไนต์อเลิเมนต์

2.1 ขั้นตอนทั่วไปของวิธีการไฟไนต์อเลิเมนต์

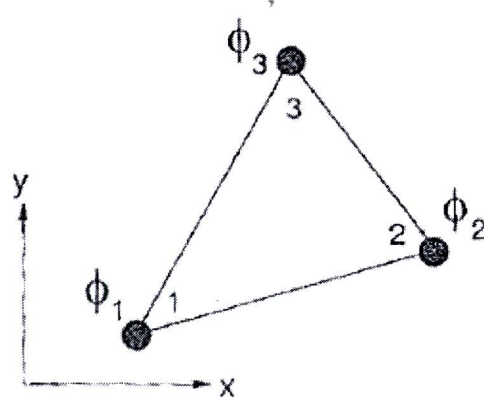
วิธีการไฟไนต์อเลิเมนต์ประกอบด้วยขั้นตอนใหญ่ๆ ทั้งหมด 6 ขั้นตอน ดังต่อไปนี้

ขั้นตอนที่ 1 การแบ่งขอบเขตปูร์วังลักษณะของปัญหาที่ต้องการที่จะหาผลลัพธ์
นั้นออกเป็นเอลิเมนต์ย่อยๆ ดังแสดงในภาพที่ 5 ขอบเขตดังกล่าวอาจเป็นขอบเขตของปัญหานิคต่างๆ กัน เช่น ปัญหาความยืดหยุ่นในของแข็ง (Elasticity problem) ปัญหาที่เกี่ยวกับอุณหภูมิ และความร้อน (Thermal problem) รวมทั้งปัญหาของการไหล (Fluid problem)



ภาพที่ 5 การแบ่งรูปร่างลักษณะของปัญหาออกเป็นอเลิเมนต์แบบต่างๆ (ปราโมทย์ เศษ方案, 2547)

ขั้นตอนที่ 2 การเลือกฟังก์ชันประมาณภายในเอลิเม้นต์ (element- interpolation functions) เช่น เอลิเม้นต์สามเหลี่ยม (เอลิเม้นต์แบบอย่างดังแสดงในภาพที่ 12) เอลิเม้นต์ดังกล่าวประกอบด้วย 3 จุดต่อที่มีหมายเลข 1, 2 และ 3 ดังแสดงในรูป 15



ภาพที่ 6 เอลิเมนต์สามเหลี่ยมแบบอย่างประกอบด้วยสามจุดต่อ โดยมีตัวไม้รู๊ค่าอยู่ ณ ตำแหน่งที่
จุดต่อ (ปราโมทย์ เศษะอมาไฟ, 2547)

โดยที่จุดต่อนี้นั้นเป็นตำแหน่งของตัวไม่รู้ค่า (nodal unknowns) ซึ่งคือ ϕ_1, ϕ_2 และ ϕ_3 ตัวไม่รู้ค่าที่จุดต่อเหล่านี้ อาจเป็นค่าการยีด หรือหดตัว (displacement) หากเรา ทำปัญหาความยืดหยุ่นในของแข็ง หรืออาจเป็นค่าอุณหภูมิหากเราทำปัญหาเกี่ยวกับการถ่ายเท ความร้อน หรือไม่ก็อาจเป็นความเร็วของของเหลวหากเราทำปัญหาเกี่ยวกับการไหล เป็นต้น ลักษณะการกระจายของตัวไม่รู้ค่านอนอลิเมนต์สามารถเขียนให้อยู่ในรูปของฟังก์ชันการประมาณ ภายใน และตัวไม่รู้ค่าที่จุดต่อได้ ดังนี้

$$\phi(x, y) = N_1(x, y)\phi_1 + N_2(x, y)\phi_2 + N_3(x, y)\phi_3 \quad (3-43)$$

โดย $N_i(x, y)$, $i = 1, 2, 3$ คือฟังก์ชันประมาณภายในอลิเมนต์
สมการ (3-43) สามารถเขียนให้อยู่ในรูปแบบของเมตริกซ์ได้ ดังนี้

$$\begin{aligned} \phi(x, y) &= \begin{bmatrix} N_1 \\ N_2 \\ N_3 \end{bmatrix} \begin{Bmatrix} \phi_1 \\ \phi_2 \\ \phi_3 \end{Bmatrix} \\ &= \begin{bmatrix} N \\ \end{bmatrix}_{(1 \times 3)} \begin{Bmatrix} \phi \\ \end{Bmatrix}_{(3 \times 1)} \end{aligned} \quad (3-44)$$

โดย $\begin{bmatrix} N \\ \end{bmatrix}$ คือ เมตริกซ์ของฟังก์ชันการประมาณภายในอลิเมนต์ และ $\begin{Bmatrix} \phi \\ \end{Bmatrix}$ คือ เวกเตอร์เมตริกซ์ที่ประกอบด้วยตัวไม่รู้ค่าที่จุดต่อของอลิเมนต์นั้น ในตัวเรียบ $\begin{bmatrix} \cdot \\ \end{bmatrix}$ แสดงถึงเมตริกซ์เดวนอน (row matrix) และ $\begin{Bmatrix} \cdot \\ \end{Bmatrix}$ แสดงถึงเมตริกซ์แควตั้ง (column matrix)

ขั้นตอนที่ 3 การสร้างสมการของอลิเมนต์ (element equations) ดังตัวอย่างเช่น สมการของอลิเมนต์สามเหลี่ยมแบบอย่างดังแสดงในรูป 15 จะอยู่ในรูปแบบดังนี้

$$\begin{bmatrix} k_{11} & k_{12} & k_{13} \\ k_{21} & k_{22} & k_{23} \\ k_{31} & k_{32} & k_{33} \end{bmatrix}_e \begin{Bmatrix} \phi_1 \\ \phi_2 \\ \phi_3 \end{Bmatrix}_e = \begin{Bmatrix} F_1 \\ F_2 \\ F_3 \end{Bmatrix}_e \quad (3-45)$$

ซึ่งเขียนย่อได้เป็น

$$[K]_e \{\phi\}_e = \{F\}_e \quad (3-46)$$

ขั้นตอนขั้นที่ 3 นี้ ถือว่าเป็นหัวใจสำคัญของวิธีการไฟไนต์อเลิม(en) การสร้างสมการของอเลิม(en) ซึ่งอยู่ในรูปแบบของสมการ (3-85) สามารถทำได้โดย

- ก. วิธีการโดยตรง (direct approach)
- ข. วิธีการแปรผัน (variational approach)
- ค. วิธีการถ่วงน้ำหนักเศษตกค้าง (method of weighted residuals)

ขั้นตอนที่ 4 การนำสมการของแต่ละอเลิม(en)ที่ได้มาประกอบกัน ก่อให้เกิดระบบสมการพร้อมกันขึ้น (system of simultaneous equations) รูปแบบดังนี้

$$\sum(\text{element equations}) \Rightarrow [K]_{sys} \{\phi\}_{sys} = \{F\}_{sys} \quad (3-47)$$

ขั้นตอนที่ 5 ทำการประยุกต์เงื่อนไขขอบเขต (boundary conditions) ลงในสมการ (3-47) แล้วจึงแก้สมการนี้เพื่อหา $\{\phi\}_{sys}$ อันประกอบด้วยตัวไม่รู้ค่าที่จุดต่อ (nodal unknowns) ซึ่งอาจจะเป็นค่าของการเคลื่อนตัว ณ ตำแหน่งต่างๆ ของโครงสร้าง หรือค่าของอุณหภูมิที่จุดต่างๆ หากเป็นปัญหาที่เกี่ยวกับการถ่ายเทความร้อน หรืออาจเป็นค่าของความเร็วของของเหลวหากเป็นปัญหาที่เกี่ยวกับการไหล เป็นต้น

ขั้นตอนที่ 6 เมื่อกำหนดค่าต่างๆ ที่จุดต่อออกมาก็สามารถทำการหาค่าอื่นๆ ที่ต้องการทราบต่อไปได้ เช่น เมื่อรู้ค่าการเคลื่อนตัว (displacement) ณ ตำแหน่งต่างๆ ของโครงสร้างเราสามารถนำไปใช้ในการหาความเครียด (strain) และความดัน (stress) ได้ต่อไป หรือเมื่อรู้อุณหภูมิที่จุดต่างๆ ก็สามารถคำนวณหาปริมาณการถ่ายเทความร้อนได้ หรือเมื่อรู้ความเร็วของของไหลก็สามารถนำไปคำนวณหาปริมาณอัตราการไหลทั้งหมดได้ เป็นต้น

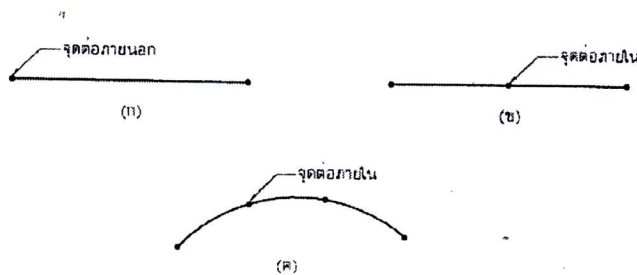
2.2 ชนิดของอเลิม(en)

การวิเคราะห์โครงสร้าง หรือชิ้นส่วนเครื่องจักรกลด้วยวิธีไฟไนต์อเลิม(en) จำเป็นต้องแบ่งเป็นโครงสร้าง หรือชิ้นส่วนของอุปกรณ์ แล้วเลือกใช้ชนิดของอเลิม(en) ให้เหมาะสมกับรูปทรงลักษณะของงาน และการกระทำของโหลด ชนิดของอเลิม(en)อาจจะแบ่งออกได้ 3 ประเภทตามมิติคือ อเลิม(en)สำหรับปัญหามิติเดียว สองมิติ และสามมิติ

2.3 เอลิเมนต์มิติเดียว

เอลิเมนต์มิติเดียวเป็นเอลิเมนต์ที่นิยมนิ่งนำไปใช้ในการวิเคราะห์ปัญหา มิติเดียว เช่น ชิ้นส่วนที่มีแรงกระทำในแนวแกน ชิ้นส่วนที่รับแรงบิด การโค้งของคาน การนำความร้อนในทิศทางเดียว เป็นต้น

ภาพที่ 7 (ก) คือเอลิเมนต์มิติเดียวที่ประกอบด้วยจุดต่อที่ปลายทั้งสองด้านของแต่ละเอลิเมนต์ ซึ่งเรียกว่าจุดต่อภายนอก ส่วนภาพที่ 7 (ข) เป็นเอลิเมนต์มิติเดียวที่ประกอบด้วยสามจุดต่อคือจุดต่อภายนอกสองจุดต่อ และจุดต่อภายในหนึ่งจุดต่อ และภาพที่ 7 (ค) คือเอลิเมนต์มิติเดียวที่เป็นเส้นโค้งประกอบด้วยสี่จุดต่อ คือ สองจุดต่อภายนอก และสองจุดต่อภายในซึ่ง

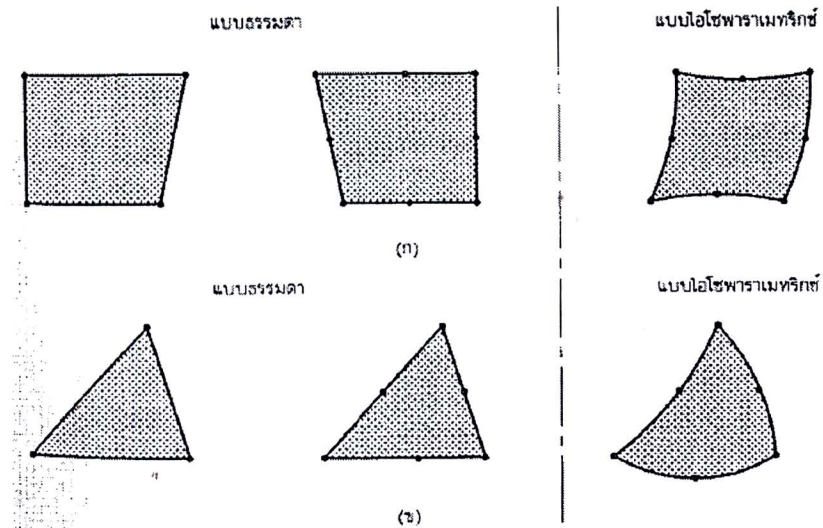


ภาพที่ 7 เอลิเมนต์มิติเดียว (ปราชมย์ เดชะอมาipo, 2547)

หมายสำคัญ สำหรับใช้วิเคราะห์ปัญหาของโครงสร้าง หรือชิ้นงานที่มีการยึดตัวไม่เป็นเส้นตรง เช่น การยึดตัวของท่อนโลหะ อันเนื่องจากมวลของท่อนโลหะเองเป็นต้น

2.4 เอลิเมนต์สองมิติ

เอลิเมนต์สองมิติมักใช้กับการวิเคราะห์ความเค้น-ความเครียดระนาบ โดยทั่วไปเอลิเมนต์สองมิติจะมีลักษณะเป็นรูปสามเหลี่ยม และสี่เหลี่ยมที่ประกอบด้วยด้านที่เป็นเส้นตรง หรือเส้นโค้ง เช่น รูปในภาพที่ 8 (ก) เป็นเอลิเมนต์สี่เหลี่ยมที่ประกอบด้วยสี่จุดต่อ และ 8 จุดต่อ

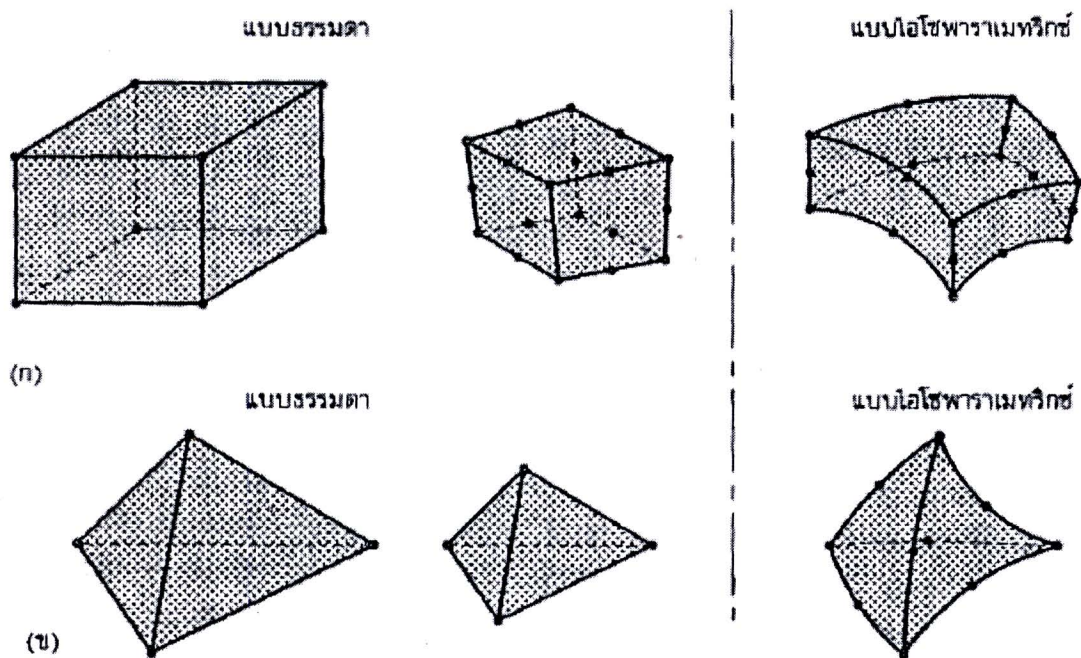


ภาพที่ 8 เอลิเมนต์สองมิติ (ก) เอลิเมนต์สี่เหลี่ยม (ข) เอลิเมนต์สามเหลี่ยม
(ปราโมทย์ เตชะอิ่มไไฟ, 2547)

ชนิดด้านตรง และด้านโค้งแบบปีโซพารามทริกซ์ ส่วนภาพที่ 8 (ข) เป็นเอลิเมนต์สามเหลี่ยมที่ประกอบด้วย 3 จุดต่อ และ 6 จุดต่อด้านตรง และด้านโค้งแบบปีโซพารามทริกซ์ โดยทั่วไปเอลิเมนต์สี่เหลี่ยมจะได้รับความนิยมนากกว่าเอลิเมนต์สามเหลี่ยม ทั้งนี้ เพราะในกรณีที่ระดับขั้นความเสรีเท่ากันเอลิเมนต์สี่เหลี่ยมให้ผลเฉลยที่ถูกต้องแม่นยำกว่า ส่วนจะเลือกใช้เอลิเมนต์สี่เหลี่ยมด้านตรง หรือด้านโค้งย่อมขึ้นอยู่กับลักษณะรูปร่างของชิ้นงานจริง และโดยทั่วไปจะสมนุติให้ความหนาของเอลิเมนต์มีค่าคงตัว แต่อาจจำกำหนดให้ความหนาเป็นฟังก์ชันกับพิกัดก็ได้

2.5 เอลิเมนต์สามมิติ

เอลิเมนต์สามมิติจะใช้กับการวิเคราะห์ปัญหาสามมิติทั่วๆ ไป ลักษณะของเอลิเมนต์จะเป็นสี่เหลี่ยมปริซึม และรูปกรวยสามเหลี่ยม เช่น ในภาพที่ 9 (ก) และ (ข) ตามลำดับ

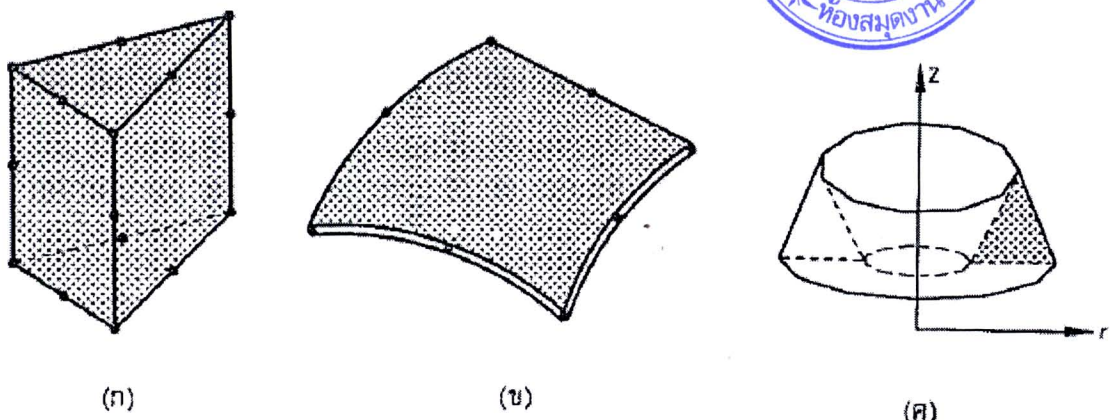


(ก) ชนิดปริซึม หรือชนิดทรงหกหน้า (ข) ชนิดกรวยสามเหลี่ยม หรือชนิดทรงสี่หน้า

ภาพที่ 9 เอลิเมนต์สามมิติ (ปราโมทย์ เตชะอว่าไไฟ, 2547)

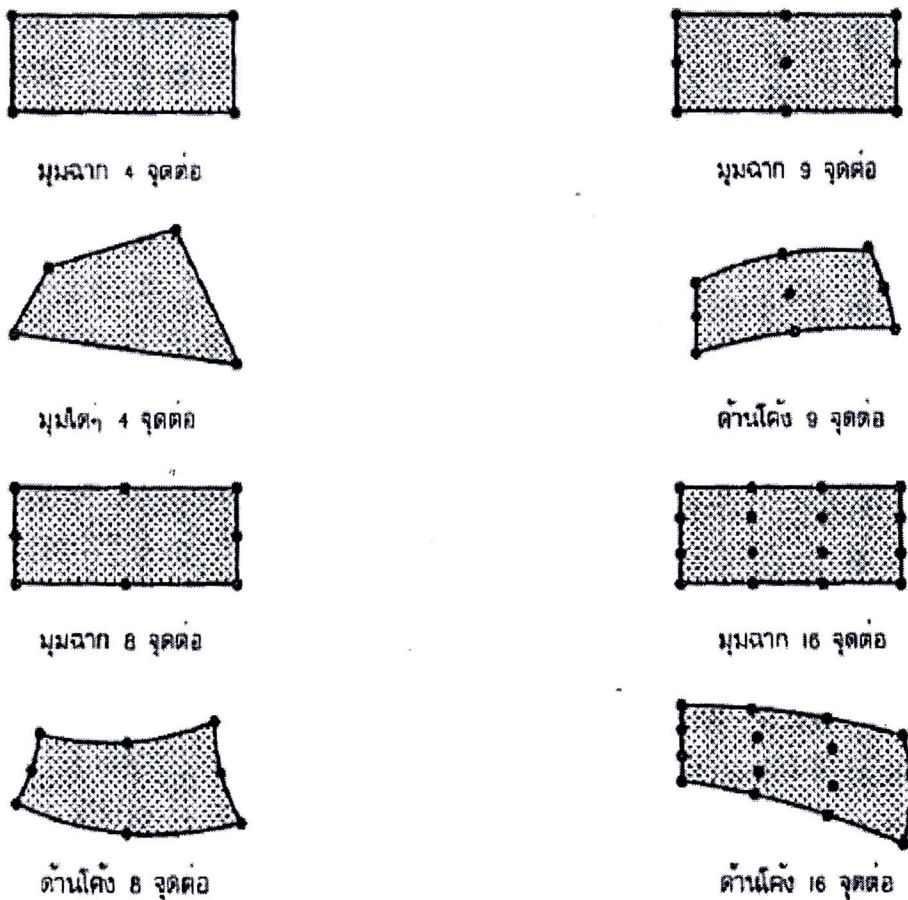
ภาพที่ 9 (ก) เป็นเอลิเมนต์สามมิติทรง 6 หน้า (hexahedron) ชนิดค้านตรง (linear) 8 จุดต่อ, ชนิดเส้นตรงกำลังสอง (straight-line quadratic) 20 จุดต่อ และชนิดเส้นโค้งกำลังสอง (quadratic with curved faces) 20 จุดต่อ ส่วนภาพที่ 9 (ข) เป็นเอลิเมนต์สามมิติ ทรง 4 หน้า (tetraheadra) ชนิดค้านตรง 4 จุดต่อ ชนิดเส้นตรงกำลังสอง 10 จุดต่อ, และชนิดเส้นโค้งกำลังสอง 10 จุดต่อตามลำดับ

นอกจากเอลิเมนต์สามมิติตามที่กล่าวมาแล้ว ยังมีเอลิเมนต์อีกกลุ่มหนึ่งที่ใช้ในการวิเคราะห์ปัญหาในลักษณะรูปทรงกระบวนการ เช่น ในภาพที่ 10 (ก) ปัญหาในลักษณะแผ่นโถง (shell) เช่น



ภาพที่ 10 (ก) เอลิเมนต์ทรงกระบอก (ข) เอลิเมนต์แผ่น โลหะ โถ้ง (สองมิติ) (ค) เอลิเมนต์ กรวยสมมาตร (สองมิติ) (ปราโมทย์ เตชะอิ่มไพบูลย์, 2547)

ในภาพที่ 10 (ข) และเอลิเมนต์ที่ใช้ในการวิเคราะห์ปัญหารูปกรวยสมมาตร ซึ่งอาจจะเป็นเอลิเมนต์ชนิดสามเหลี่ยม หรือสี่เหลี่ยมหมุนรอบแกนสมมาตร (360°) เช่น ภาพที่ 10 (ค) โดยทั่วๆ ไปเอลิเมนต์ที่ประกอบด้วยจำนวนจุดต่อมากๆ จะให้ผลเฉลยใกล้เคียงกับค่าแม่นตรงมากกว่าเอลิเมนต์ที่ประกอบด้วยจำนวนจุดต่อน้อย แต่จะเพิ่มความยุ่งยากในการแก้สมการ และใช้เวลาในการคำนวณมาก ตัวอย่างเช่น เอลิเมนต์สี่เหลี่ยมสองมิติ ภาพที่ 11 ประกอบด้วยจุดต่อ 4 จุด ให้ผลเฉลยคลาดเคลื่อนมากกว่าเอลิเมนต์สี่เหลี่ยมที่ประกอบด้วย 8 และ 16 จุดต่อเป็นต้น��

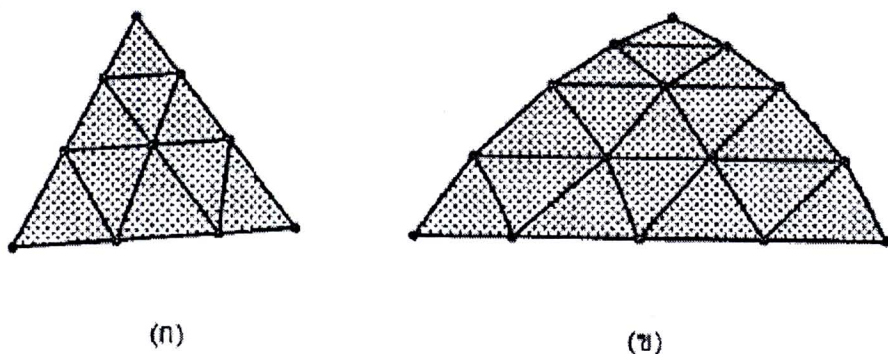


ภาพที่ 11 เอลิเมนต์สี่เหลี่ยมสองมิติที่ประกอบด้วยจุดต่อต่างๆ (ปราวิทย์ เศษ方案, 2547)

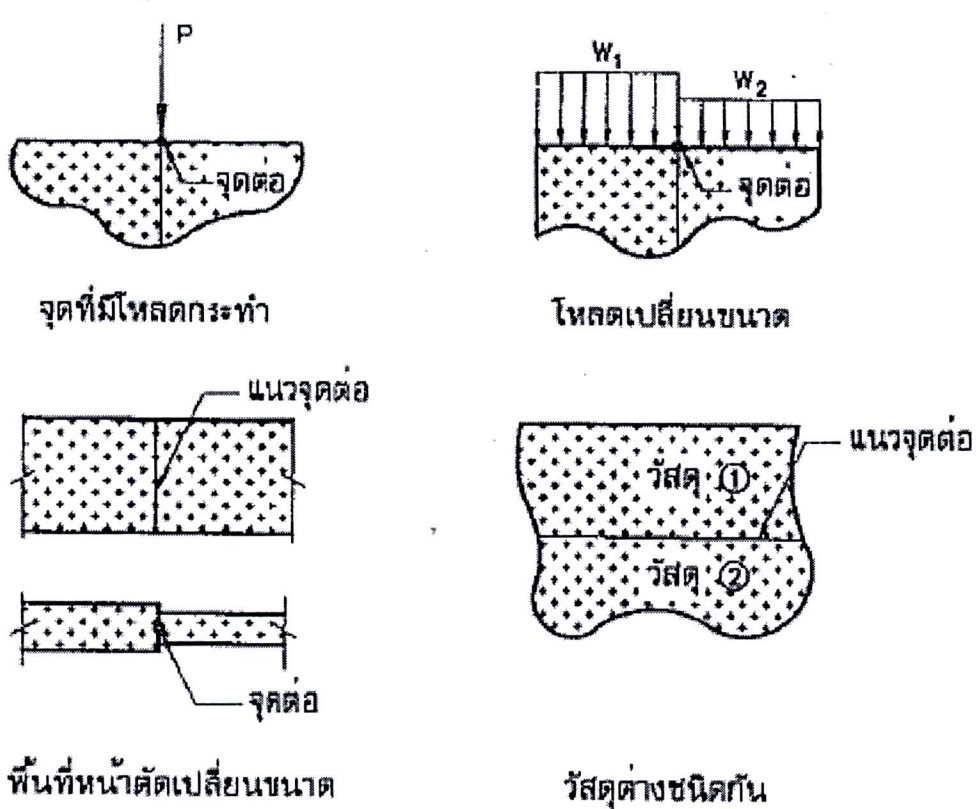
2.6 การแบ่งชิ้นส่วนออกเป็นเอลิเมนต์ย่อย

การวิเคราะห์ชิ้นส่วนเครื่องจักรกลด้วยวิธีไฟไนต์เอลิเมนต์ จำเป็นต้องแบ่งชิ้นส่วนออกเป็นเอลิเมนต์ย่อยที่เกี่ยวโยงกันด้วยจุดต่อ เพื่อความสะดวกจะพิจารณาปัญหาสองมิติ โดยเลือกใช้เอลิเมนต์สามเหลี่ยมด้านตรงที่ประกอบสามจุดต่อ เช่น ในภาพที่ 12 (ก) ส่วนปัญหาสามมิติก็ใช้หลักการเดียวกัน

การแบ่งชิ้นส่วนอาจเริ่มแบ่งออกเป็นเอลิเมนต์สี่เหลี่ยม หรือสามเหลี่ยมที่มีขนาดใหญ่ๆ ก่อนแล้วจึงแบ่งออกเป็นเอลิเมนต์สามเหลี่ยมย่อยอีกครั้งหนึ่ง ตามแน่นของจุดต่อ (node) ภายนอกของเอลิเมนต์ย่อยควรจะอยู่ในตำแหน่งที่มีการเปลี่ยนแปลงรูปร่างของชิ้นส่วน หรือตำแหน่งที่มีโหลดกระทำ หรือตำแหน่งที่มีการใช้สัดส่วนต่างกัน ตำแหน่งจุดต่อเหล่านั้นคูณได้จากภาพที่ 13



ภาพที่ 12 การแบ่งชิ้นส่วนออกเป็นเอกสารต์สามเหลี่ยม (ปราโมทย์ เตชะอุมา, 2547)



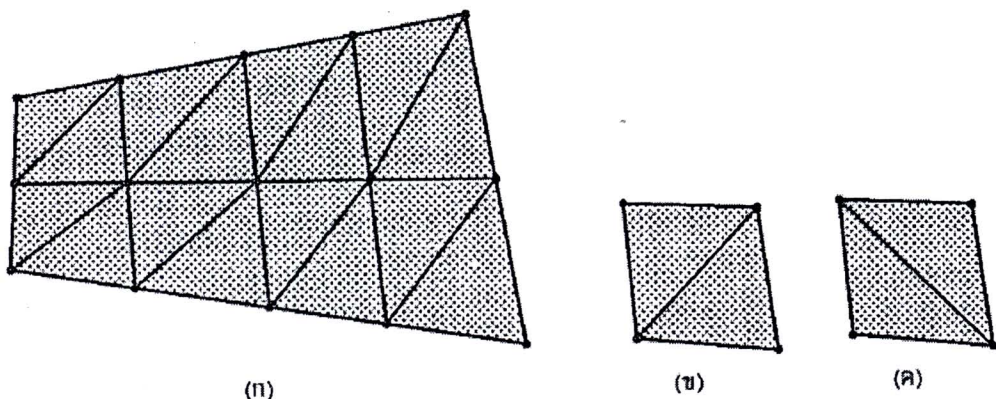
ภาพที่ 13 ตำแหน่งของจุดต่อที่สำคัญ (ปราโมทย์ เตชะอามีพ, 2547)

ชื่นส่วนรูปสามเหลี่ยมในรูป ภาพที่ 12 (ก) ค่อนข้างจะแบ่งเป็นเอลิเมนต์ย่อยได้ ง่ายคือ กำหนดจุดต่อในแต่ละด้านของสามเหลี่ยมให้มีจำนวนเท่ากัน ลากเส้น โยงระหว่าง จุดต่อจะได้จุดต่อตรงที่เส้นตัดกันเพิ่มขึ้น ตามภาพที่ 12 (ก) ชื่นส่วนจะถูกแบ่งออกเป็น 9 เอลิเมนต์ แต่ละ ด้านจะมีสี่จุดต่อ ระยะระหว่างจุดต่อของแต่ละด้านของสามเหลี่ยมไม่จำเป็นต้องเท่ากัน ขนาดของ

เอลิเมนต์แต่ละเอลิเมนต์ซึ่งมีขนาดแตกต่างกันตามที่ต้องการ ถ้าเป็นเอลิเมนต์สามเหลี่ยมด้วยกัน เอลิเมนต์สามเหลี่ยมด้านเท่าจะให้ผลเฉลยที่ดีที่สุด แต่ถ้าจำเป็นต้องใช้เอลิเมนต์สามเหลี่ยมใดๆ มุนภายในของเอลิเมนต์สามเหลี่ยมควรจะอยู่ระหว่าง 30° ถึง 120°

ในกรณีของชิ้นส่วนเป็นรูปสามเหลี่ยมด้านโถง เราอาจใช้เอลิเมนต์สามเหลี่ยมด้านตรงแทน เช่น ในภาพที่ 12 (ข) ซึ่งทำให้ขนาดของแบบจำลองคลาดเคลื่อนไปเล็กน้อยตามเส้นไปปลา ส่วนจำนวนของเอลิเมนต์ทั้งหมดในชิ้นส่วนจะเท่ากับ $(n-1)^2$, n คือจำนวนจุดต่อของแต่ละด้านของชิ้นส่วนสามเหลี่ยมที่ต้องการจะแบ่งเป็นเอลิเมนต์ย่อย

สำหรับชิ้นส่วนรูปสี่เหลี่ยมในภาพที่ 14 (ก) การแบ่งเอลิเมนต์ย่อยๆ นี้ ทำได้สะดวกคือ กำหนดจุดต่อในแต่ละด้านของสี่เหลี่ยม ลากเส้นระหว่างจุดต่อที่อยู่ตรงข้าม,

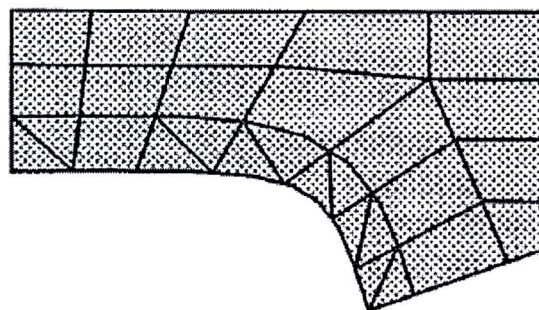


ภาพที่ 14 การแบ่งชิ้นส่วนสี่เหลี่ยมออกเป็นเอลิเมนต์สามเหลี่ยม (ปราโมทย์ เดชะอุมาพิ, 2547)

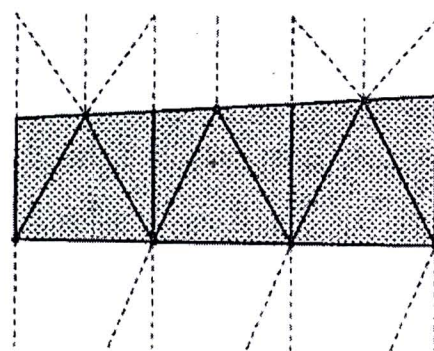
จุดตัดของแต่ละเส้นจะเป็นจุดต่อภายในของชิ้นส่วน และถ้าประสงค์ จะแบ่งเอลิเมนต์สี่เหลี่ยมออกเป็นเอลิเมนต์สามเหลี่ยมย่อยๆ ทำได้ โดยลากเส้นทะแยงมุมของเอลิเมนต์สี่เหลี่ยม การลากเส้นทะแยงมุมนี้นิยมจะเลือกเส้นทะแยงมุมที่สั้นที่สุด เพราะจะทำให้เอลิเมนต์สามเหลี่ยมนี้มีสัดส่วนใกล้สามเหลี่ยมด้านเท่ามากขึ้น ดูตัวอย่างในภาพที่ 14 (ข) และ (ค) ในกรณีที่เลือกใช้เอลิเมนต์สี่เหลี่ยม สัดส่วนด้านยาวสุดต่อด้านสั้นสุดของเอลิเมนต์สี่เหลี่ยมควรจะเท่ากับ 1 จึงจะทำให้เคลียไกล์เคียงกับค่าแม่นตรงมากขึ้น

จำนวนจุดต่อบนด้านที่ใกล้กันของชิ้นส่วนสี่เหลี่ยมอาจจะแตกต่างกัน แต่จำนวนจุดต่อที่ด้านตรงข้ามจะต้องมีจำนวนเท่ากัน เว้นแต่ต้องการลด หรือขยายขนาดของเอลิเมนต์ระยะระหว่างจุดต่ออาจจะแตกต่างกันซึ่งทำให้เอลิเมนต์มีขนาดเล็กใหญ่ตามต้องการ จำนวนจุดต่อนด้านประกอบมุมของชิ้นส่วนสี่เหลี่ยมที่ต้องการแบ่งออกเป็นเอลิเมนต์ย่อย

ในภาพที่ 15 ระยะระหว่างจุดต่อของชิ้นส่วนสี่เหลี่ยมจะมีขนาดต่างกัน ทั้งนี้เพื่อจะให้อลิเมนต์ในบริเวณขอบที่เป็นส่วนโถงมีขนาดเล็ก คือพื้นที่มากทำให้แบบจำลองมีขนาดใกล้เคียงกับขนาดของชิ้นส่วนจริงมากที่สุด ปกติไม่นิยมแบ่งอลิเมนต์ให้มีขนาดเท่ากัน และมีรูปร่างเหมือนกันตลอดชิ้นส่วน เพราะบริเวณที่มีความเค้นสูง หรือบริเวณที่มีความแตกต่างของอุณหภูมิ ควรจะแบ่งให้มีอลิเมนต์ขนาดเล็กๆ ส่วนบริเวณที่ไกลออกไปจะแบ่ง



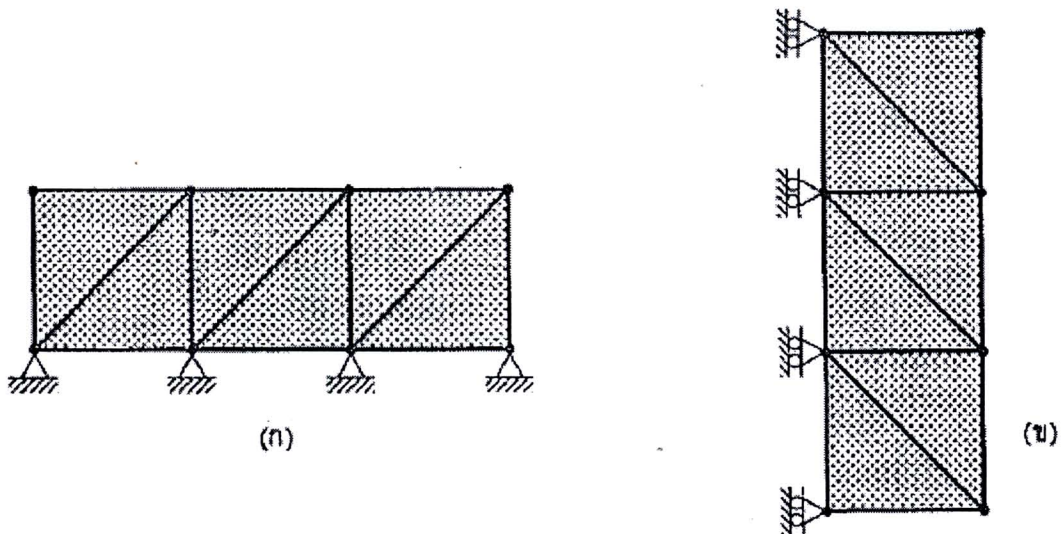
ภาพที่ 15 การแบ่งชิ้นส่วนสี่เหลี่ยม โถงออกเป็นอลิเมนต์สี่เหลี่ยม และสามเหลี่ยมย่อย
(ปราโมทย์ เตชะอำไพ, 2547)



ภาพที่ 16 การขยายขนาดของอลิเมนต์สามเหลี่ยม (ปราโมทย์ เตชะอำไพ, 2547)

ให้มีขนาดโตจีน การเปลี่ยนขนาดของอลิเมนต์จะมีประโยชน์มากสำหรับการวิเคราะห์ปัญหาที่มีรูปร่างซับซ้อน วิธีที่ง่ายที่สุดของการเปลี่ยนแปลงขนาดของอลิเมนต์คือ กำหนดให้จำนวนจุดต่อบนด้านตรงข้ามของอลิเมนต์สี่เหลี่ยมให้แตกต่างกัน เช่น ในภาพที่ 16 เป็นต้น

การวิเคราะห์ปัญหาทางกลศาสตร์ของแข็ง จำเป็นต้องกำหนดลักษณะการเคลื่อนที่ของจุดต่อต่างๆ ด้วย โดยทั่วไปจุดต่อที่ไม่มีการเคลื่อนที่จะแทนด้วยการยึดแบบสลัก (pin connection) เช่น ในภาพที่ 17 (ก) แต่ถ้าจุดต่อเคลื่อนที่ในทิศทางเดียวจะแทนด้วย



ภาพที่ 17 การยึดจุดต่อ (ก) ยึดแบบสลัก (ข) ยึดแบบล้อหมุน (ปราชโนทย์ เศษะอําไฟ, 2547)

การยึดแบบล้อหมุน ภาพที่ 17 (ข) ซึ่งชี้ส่วนสามารถเคลื่อนที่ในแนวตั้งได้ แต่ไม่สามารถเคลื่อนที่ในแนวระดับ ส่วนการที่จะกำหนดให้จุดต่อเคลื่อนที่อย่างไรนั้นจะขึ้นอยู่กับลักษณะของปัญหา

3. การวิเคราะห์การสั่นสะเทือนด้วยวิธีไฟไนต์อิเลิมเม้นต์

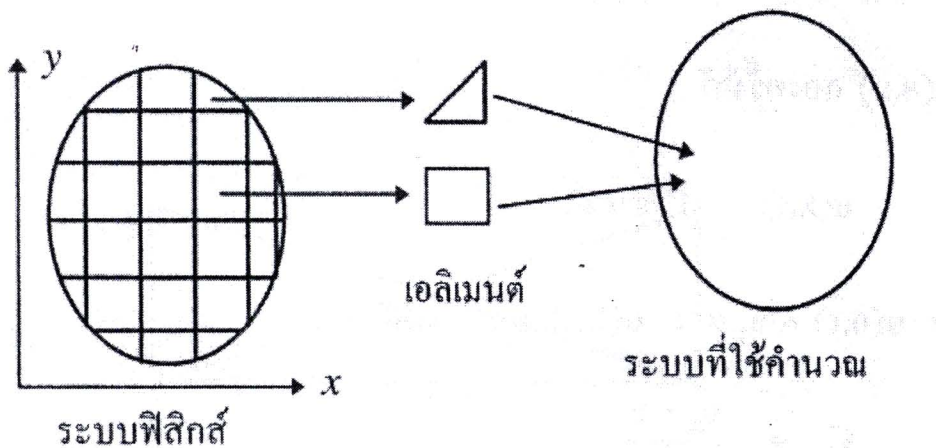
วิธีไฟไนต์อิเลิมเม้นต์ เป็นวิธีการคำนวณเชิงตัวเลขวิธีหนึ่งที่ได้รับความนิยมมาก ในปัจจุบัน เนื่องจากการคำนวณด้วยวิธีนี้จะต้องอาศัยคอมพิวเตอร์ช่วยในการคำนวณ และปัจจุบันคอมพิวเตอร์ มีความเร็วสูง และมีหน่วยความจำขนาดใหญ่ ทำให้สามารถคำนวณงานต่างๆ โดยวิธีวิธีไฟไนต์อิเลิมเม้นต์ได้ง่ายขึ้น และเร็วขึ้นกว่าสมัยก่อนมาก

การคำนวณด้วยวิธีไฟไนต์อิเลิมเม้นต์สามารถประยุกต์ใช้ในการคำนวณได้หลายสาขาวิชา เช่น สถาปัตยศาสตร์ พลศาสตร์ ไฟฟ้า ความร้อน และของไหล เป็นต้น การคำนวณอาจคำนวณปัญหาแบบเชิงเส้น หรือไม่เชิงเส้นก็ได้ ขึ้นอยู่กับงานที่ต้องการวิเคราะห์

หลักการคำนวณด้วยวิธีไฟไนต์อิเลิมเม้นต์ จะทำโดย แบ่งระบบใหญ่ๆออกเป็น เอลิเม้นต์เล็กๆ แล้วใช้ทฤษฎีของระบบแบบต่อเนื่องสร้างเมทริกซ์สำหรับเอลิเม้นต์ทุกๆ เอลิเม้นต์

ในระบบใหญ่นั้น แล้วนำเมทริกซ์ของอเลิเมนต์เหล่านั้นรวมกันเพื่อคำนวณหาผลเฉลยของทั้งระบบของมา

ในบทนี้จะแนะนำวิธีการสร้างเมทริกซ์มวลและเมทริกซ์สปริงด้วยวิธีไฟไนต์อเลิเมนต์ ที่จะใช้ในการคำนวณหาค่าเจาะจงและเวกเตอร์เจาะจงของ ระบบโครงสร้างที่ประกอบขึ้นมาจากงาน ทั้งแบบมิติเดียวและสองมิติ เพื่อใช้เป็นแนวทางที่จะใช้ศึกษาวิธีการคำนวณด้วยวิธีไฟไนต์อเลิเมนต์ของระบบแบบอื่นๆต่อไป

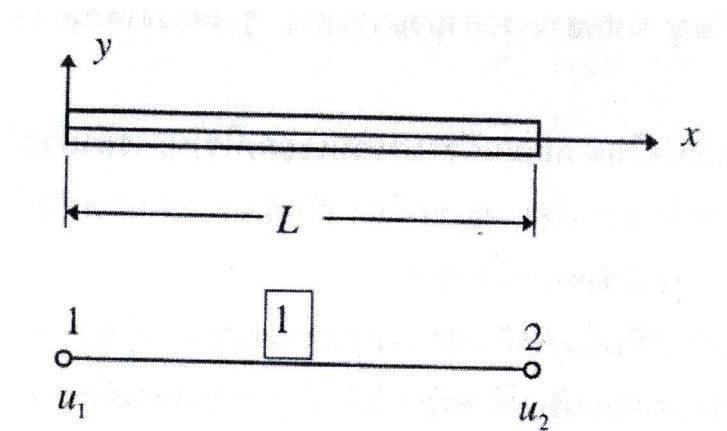


ภาพที่ 18 แนวความคิดของวิธีไฟไนต์อเลิเมนต์ (ธนู จุยฉาย, 2541)

3.1 พังก์ชันการประมาณภายในอเลิเมนต์

ในการพิจารณาคานที่มีการสั่นสะเทือนในแนวแกน จะพิจารณาว่าคานเป็นอเลิเมนต์ที่มี 2 ปลายโดยที่แต่ละปลายมีการเคลื่อนที่ในแนวแกนเป็น u ดังนั้นในแต่ละปลายจะมีระดับความเป็นเสรีขึ้นเดียว แต่เมื่อพิจารณาทั้งคาน จะถูกต้องเป็นระดับความเสรีสองขั้น ในภาพที่ 19 แสดงถึงคานในทางพิสิกส์ เมื่อทำแบบจำลองในรูปของอเลิเมนต์แล้ว แต่ละปลายจะเรียกว่าจุดต่อ และตัวอเลิเมนต์ของคานจะเรียกว่าอเลิเมนต์แบบอย่าง สำหรับในภาพที่ 19 นี้ อเลิเมนต์แบบอย่างมี 2 จุดต่อคือ จุดต่อ 1 และจุดต่อ 2 โดยที่แต่ละจุดต่อ มีเงื่อนไขที่ขอบคือ จุดต่อ 1 มีการกระจัดเป็น u_1 และจุดต่อ 2 มีการกระจัดเป็น u_2 และจากสมการเชิงอนุพันธ์เบื้องต้นของการสั่นสะเทือน

$$EA = \frac{\partial^2 u(x,t)}{\partial^2 x} = m \frac{\partial^2 u(x,t)}{\partial t^2} \quad (3-48)$$



ภาพที่ 19 ระบบคานและเอลิเมนต์แบบต่างๆ (ชั้น จุลภาคย์, 2541)

ถ้าพิจารณาระบบแบบสติติกศาสตร์ ดังนี้ $\frac{\partial^2 u(x,t)}{\partial t^2} = 0$ สมการ (3-48) จะได้

$$\frac{d^2 u(x,t)}{dx^2} = 0 \quad (3-49)$$

อินทิเกรตสมการ (3-49) สองครั้งได้

$$u(x,t) = c_1 x + c_2 \quad (3-50)$$

แทนเงื่อนไขที่ข้อมูล $u(0,t) = u_1$ และ $u(L,t) = u_2$ จะได้

$$C_1 = \frac{u_2 - u_1}{L}$$

$$C_2 = u_2$$

แทนค่าคงที่ C_1 และ C_2 กลับใน (3-50) ได้

$$u(x,t) = \frac{u_2 - u_1}{L} x + u_2$$

หรือเขียนใหม่ได้เป็น

$$u(x,t) = \left(1 - \frac{x}{L}\right) u_1 + \frac{x}{L} u_2 \quad (3-51)$$

หรือกำหนดให้

$$N_1(x) = 1 - \frac{x}{L}$$

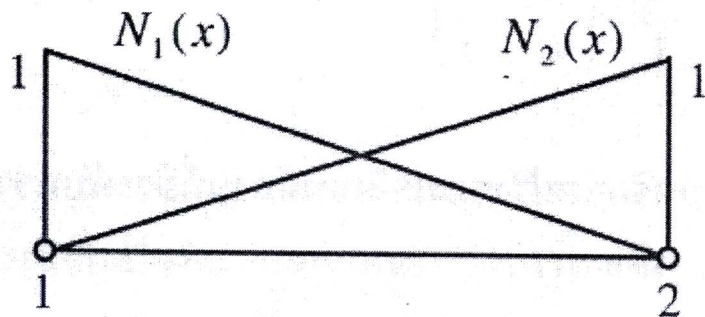
$$N_2(x) = \frac{x}{L}$$

$$\therefore u(x,t) = N_1(x)u_1 + N_2(x)u_2 = \{N(x)\}^T \{u\} \quad (3-52)$$

โดยที่

$$\begin{aligned} \{N(x)\} &= \begin{Bmatrix} N_1(x) \\ N_2(x) \end{Bmatrix} = \begin{Bmatrix} 1 - \frac{x}{L} \\ \frac{x}{L} \end{Bmatrix} \\ \{u\} &= \begin{Bmatrix} u_1 \\ u_2 \end{Bmatrix} \end{aligned} \quad (3-53)$$

ในที่นี่ $\{N(x)\}$ คือฟังก์ชันการประมวลภายในэลิเมนต์ โดยที่ $N_i(x), (i=1,2)$ จะเป็น 1 ที่จุดต่อ i และ เป็น 0 ที่จุดต่ออื่นๆ



ภาพที่ 20 แสดงฟังก์ชันการประมวลภายในэลิเมนต์ (ชู ฉุยฉาย, 2541)

3.2 เมทริกซ์ความแข็งคงและเมทริกซ์มวล

ในการหาเมทริกซ์ $[K]$ จะหาได้จากพลังงานศักย์ของคาน ซึ่งพิจณาได้จากสมการ โดยคิดว่าพื้นที่หน้าตัดของคานสม่ำเสมอ จะทำให้ EA เป็นค่าคงที่เป็น

$$V(t) = \frac{EA}{2} \int_0^L \left(\frac{\partial u(x,t)}{\partial x} \right)^2 dx \quad (3-54)$$

จากสมการ (3-52)

$$\frac{\partial u(x,t)}{\partial x} = \left\{ \frac{\partial N(x)}{\partial x} \right\}^T \{u\} \quad \{u\} = \{N'(x)\}^T \{u\}$$

แทน $\frac{\partial u(x,t)}{\partial x}$ ในสมการ (3-54) ได้

$$\begin{aligned} V(t) &= \frac{EA}{2} \int_0^L \{u\}^T \{N'(x)\} \{N'(x)\}^T \{u\} dx \\ \text{หรือ} \quad V(t) &= \frac{1}{2} \{u\}^T [K]_e \{u\} \end{aligned} \quad (3-55)$$

$$\text{โดย} \quad [K]_e = EA \int_0^L \{N'(x)\} \{N'(x)\}^T dx \quad (3-56)$$

ทำอนุพันธ์ $\{N(x)\}$ เทียบ x และแทนลงในสมการ (3-56) ได้

$$\begin{aligned} [K]_e &= EA \int_0^L \begin{Bmatrix} -\frac{1}{L} \\ \frac{1}{L} \end{Bmatrix} \begin{pmatrix} -\frac{1}{L} & \frac{1}{L} \end{pmatrix} dx \\ \therefore [K]_e &= \frac{EA}{L} \begin{bmatrix} 1 & -1 \\ -1 & 1 \end{bmatrix} \end{aligned} \quad (3-57)$$

สมการ (3-57) เป็นเมทริกซ์สปริงของอเลิมณต์คานที่มีระดับความเร็วสองขั้น และมีการสั่นสะเทือนตามแนวแกนเท่านั้น

สำหรับเมทริกซ์มวล $[M]_e$ ของอเลิมณต์คาน จะหาได้จากพลังงานจลน์ จากหัวข้อ

$$\begin{aligned} \text{พลังงานของระบบสมการ} \quad T(t) &= \frac{1}{2} \int_0^L \rho A(x) \left(\frac{\partial u(x,t)}{\partial t} \right)^2 dx \\ \text{ดังนั้น } \rho A &\text{ จะเป็นค่าคงที่สมการ} \quad T(t) = \frac{1}{2} \int_0^L \rho A(x) \left(\frac{\partial u(x,t)}{\partial t} \right)^2 dx \quad \text{สมมติว่าคานมีพื้นที่หน้าตัดสม่ำเสมอ} \\ &\text{เปลี่ยนใหม่ได้เป็น} \end{aligned}$$

$$T(t) = \frac{\rho A}{2} \int_0^L \left(\frac{\partial u(x,t)}{\partial t} \right)^2 dx \quad (3-58)$$

จากสมการ (3-52) ถ้าพิจารณาอเลิมณต์ในกรณีของระบบแบบพลศาสตร์ จะได้ว่าเงื่อนไขที่ของเปลี่ยนไปกับเวลา นั่นคือ u_1 และ u_2 เป็นฟังก์ชันของเวลา ส่วนรูปร่างของการเคลื่อนที่ตามแนวแกนของส่วนต่างๆ ของคานยังถูกกำหนดด้วยฟังก์ชันการประมวลภายในอเลิมณต์ (ฟังก์ชันรูปร่าง) $\{N(x)\}$ เมื่อันดิม ดังนั้นอนุพันธ์ย่อของสมการ (3-52) จะเป็น

$$\frac{\partial u(x,t)}{\partial t} = \{N(x)\}^T \{\ddot{u}\} \quad (3-59)$$

แทนสมการ (3-59) ในสมการ (3-58) ได้

$$T(t) = \frac{\rho A}{2} \int_0^L \{\dot{u}\}^T \{N(x)\} \{N(x)\}^T \{\dot{u}\} dx$$

$$T(t) = \frac{1}{2} \{\dot{u}\}^T [M]_e \{\dot{u}\}$$

หรือ

โดยที่

$$[M]_e = \rho A \int_0^L \{N(x)\} \{N(x)\}^T dx$$

$$[M]_e = \rho A \int_0^L \begin{Bmatrix} 1 - \frac{x}{L} \\ \frac{x}{L} \end{Bmatrix} \begin{pmatrix} 1 & \frac{x}{L} \\ \frac{x}{L} & 1 \end{pmatrix} dx$$

$$\therefore [M]_e = \frac{\rho AL}{6} \begin{bmatrix} 2 & 1 \\ 1 & 2 \end{bmatrix}$$

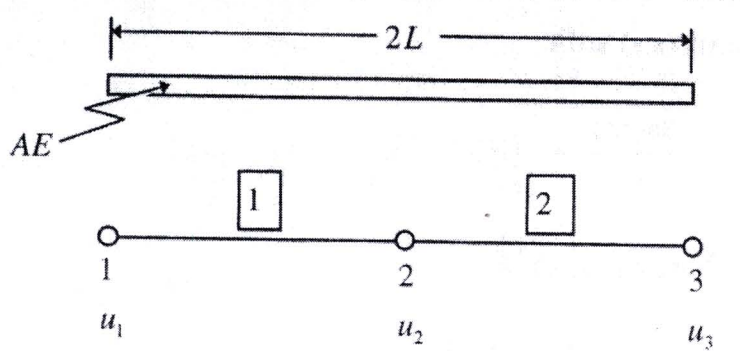
(3-61)

สมการ (3-61) เป็นเมทริกซ์มวลของэลิเมนต์คานที่มีการสั่นสะเทือนตามแนวแกน

3.3 เมทริกซ์ระบบรวม

ในกรณีที่คานถูกแบ่งออกเป็นหลายэลิเมนต์ ดังนี้นแต่ละэลิเมนต์จะมีเมทริกซ์เป็นของэลิเมนต์ เมื่อจะทำการคำนวณพร้อมกันทั้งคาน จำเป็นที่จะต้องเอาเมทริกซ์ของ แต่ละэลิเมนต์มารวมกันเสียก่อน เมทริกซ์ที่รวมกันแล้วเรียกว่า เมทริกซ์ระบบรวม กำหนดได้จาก

$$\left. \begin{aligned} [K]_G &= \sum_{i=1}^N [K]_{ei} \\ [M]_G &= \sum_{i=1}^N [M]_{ei} \end{aligned} \right\} \quad (3-62)$$



ภาพที่ 21 คานที่แบ่งออกเป็น 2 เอลิเมนต์ (ธนู ฉุยฉาย, 2541)

เพื่อความเข้าใจในการสร้างเมทริกซ์ระบบรวมจะพิจารณาระบบในรูปที่ 8.4 คานยาว $2L$ เมื่อแบ่งคานออกเป็น 2 เอลิเมนต์ ทำให้แต่เอลิเมนต์ยาว L แต่ละเอลิเมนต์จะมีเมทริกซ์ $[K]$ เป็น

$$[K]_{e1} = \frac{AE}{L} \begin{bmatrix} 1 & -1 \\ -1 & 1 \end{bmatrix} = \begin{bmatrix} K_{11}^1 & K_{12}^1 \\ K_{21}^1 & K_{22}^1 \end{bmatrix} \leftarrow u_1 \quad \begin{bmatrix} u_1 & u_2 \\ \downarrow & \downarrow \end{bmatrix}$$

$$(3-63)$$

$$[K]_{e2} = \frac{AE}{L} \begin{bmatrix} 1 & -1 \\ -1 & 1 \end{bmatrix} = \begin{bmatrix} K_{11}^2 & K_{12}^2 \\ K_{21}^2 & K_{22}^2 \end{bmatrix} \leftarrow u_2 \quad \begin{bmatrix} u_2 & u_3 \\ \downarrow & \downarrow \end{bmatrix}$$

$$(3-64)$$

โดยที่ K_{ij}^e หมายถึง เทอมที่ ij ของเมทริกซ์ของเอลิเมนต์ e

เมื่อนำเมทริกซ์ $[K]_{e1}$ และ $[K]_{e2}$ มารวมกันให้เป็นเมทริกซ์ระบบรวม $[K]_G$ จะต้องทำการรวมกันให้ตรงตามตำแหน่งของ u_i โดยที่ตำแหน่งของ u_i ตรงกันก็จะรวมกัน จากตัวอย่าง เมื่อนำสมการ (3-63) รวมกับสมการ (3-64) จะได้เมทริกซ์ระบบรวมเป็น

$$\begin{bmatrix} u_1 & u_2 & u_3 \\ \downarrow & \downarrow & \downarrow \end{bmatrix}$$

$$[K]_G = \begin{bmatrix} K_{11}^1 & K_{12}^1 & 0 \\ K_{21}^1 & K_{22}^1 + K_{11}^2 & K_{12}^2 \\ 0 & K_{21}^2 & K_{22}^2 \end{bmatrix} \leftarrow u_1 \quad \leftarrow u_2 \quad \leftarrow u_3$$

$$(3-65)$$

3.4 การสั่นสะเทือนของคานแบบมิติเดียว

ในการวิเคราะห์การสั่นสะเทือนของคาน จะทำโดยตั้งสมการเชิงอนุพันธ์ของการเคลื่อนที่แบบเดียวกันกับในบทก่อนๆ ในกรณีของคานนี้สามารถตั้งสมการเชิงอนุพันธ์ย่อได้โดยง่าย เนื่องจากได้ทำการหมายทริกซ์มวลและเมทริกซ์สปริงมาก่อนแล้ว ดังนั้นสมการเชิงอนุพันธ์ของการเคลื่อนที่จะกำหนดได้จาก

$$[M]_G \{ \ddot{u} \} + [K]_G \{ u \} = 0 \quad (3-66)$$

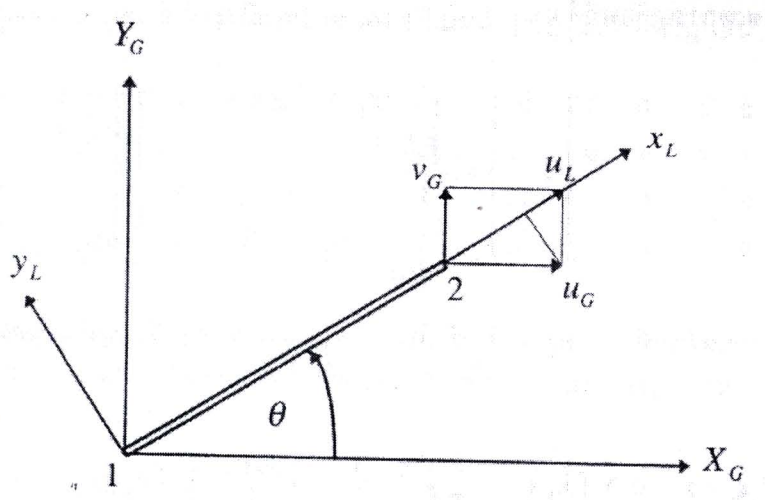
สมการ (3-66) เป็นสมการเชิงอนุพันธ์ของการเคลื่อนที่แบบอิสระของระบบที่ไม่มีตัวหน่วง ซึ่งจะใช้หลักการวิเคราะห์แบบเดียวกันกับระบบมวลแบบเป็นก้อน โดยเปลี่ยนสมการ (3-66) ให้เป็นปัญหาแบบไอเกน แล้วหาค่าเจาะจงเวลาเดอร์เจาะจงของคาน

3.5 การสั่นสะเทือนของคานแบบสองมิติ

จากหัวข้อที่แล้วได้กล่าวถึง การสั่นสะเทือนของคานแบบมิติเดียว ซึ่งจะพิจารณาเฉพาะการสั่นสะเทือนในแนวแกนของคานเท่านั้น แต่ถ้าระบบประกอบขึ้นจากคานหลายอันที่มีได้อยู่ในแนวเดียวกัน เช่น คานอาจจะอยู่ในลักษณะที่เอียงทำมุมกับแกน x เป็น θ ตามรูปที่ 22 ในกรณีนี้ เมทริกซ์ของอเลิมэнต์ $[K]_e$ และ $[M]_e$ ในแบบเดิมไม่สามารถนำมาใช้ได้โดยตรงแต่จะต้องทำการแปลงเมทริกซ์ของอเลิมэнต์เสียก่อน จึงจะนำมาใช้ในการคำนวณได้

พิจารณารูปที่ 22 อเลิมэнต์คานอยู่ในระบบแกนย่ออย่าง x_L, y_L ซึ่งเอียงทำมุมกับ X_G เป็นมุม θ โดยที่ X_G, Y_G เป็นระบบแกนรวมใหญ่ เมื่อพิจารณาการเคลื่อนตัวที่ปลายค้านหนึ่งของคาน สมมติว่าที่ปลายค้านขวาของคานมีการเคลื่อนตัวไปเป็น u_L และเมื่อแตก u_L ออกมายังอยู่ในระบบแกนรวมใหญ่จะได้เป็น u_G และ v_G ซึ่งจะทำให้ได้ความสัมพันธ์ระหว่างการเคลื่อนตัวที่ปลายคานในระบบแกนย่ออย่าง u_L และระบบแกนรวมใหญ่ u_G, v_G เป็น

$$u_L = u_G \cos \theta + v_G \sin \theta \quad (3-67)$$



ภาพที่ 22 คานที่อียงทำมุนกับระบบแกนรวมใหญ่ (ธน จุยฉาย, 2541)

แต่เนื่องจากคานมี 2 ปลาย แต่ละปลายมีการเคลื่อนตัวในระบบแกนย่ออยู่เป็น u_{1L} และ u_{2L} ดังนั้น สมการ (3-67) จะเขียนใหม่สำหรับคานแบบ 2 ปลายได้

$$\left. \begin{aligned} u_{1L} &= u_{1G} \cos \theta + v_{1G} \sin \theta \\ u_{2L} &= u_{2G} \cos \theta + v_{2G} \sin \theta \end{aligned} \right\} \quad (3-68)$$

เพื่อความง่ายในการเขียน จะกำหนดให้ $c = \cos \theta$ และ $s = \sin \theta$ สมการ (3-68) จะเขียนในรูปของเมตริกซ์ได้เป็น

$$\begin{Bmatrix} u_{1L} \\ u_{2L} \end{Bmatrix} = \begin{bmatrix} c & s & 0 & 0 \\ 0 & 0 & c & s \end{bmatrix} \begin{Bmatrix} u_{1G} \\ v_{1G} \\ u_{2G} \\ v_{2G} \end{Bmatrix} = [P] \{u\}_G \quad (3-69)$$

โดยที่ $[P] = \begin{bmatrix} c & s & 0 & 0 \\ 0 & 0 & c & s \end{bmatrix}$ เป็นเมตริกซ์ของการแปลงการเคลื่อนตัวที่ปลายคานของระบบแกนรวมใหญ่ไปเป็นระบบแกนย่อ

สำหรับเมตริกซ์ของเอกลิเมนต์ $[K]_e$ และ $[M]_e$ ของคานที่ทำมุน θ ใดๆ กับระบบแกนรวมใหญ่ จะหาได้จากสมการ (8.8) และ (8.14) แต่เมตริกซ์ของเอกลิเมนต์ถูกสร้างขึ้นจาก

ระบบแกนย่ออย ดังนั้นเพื่อมิให้สับสนจะเขียนสมการ (3-55) และ (3-61) ใหม่โดยใช้ค่านี้ L เพื่อแสดงถึงระบบแกนย่ออย เป็น

$$V(t) = \frac{1}{2} \{\dot{u}\}_L^T [K]_{eL} \{u\}_L \quad (3-70)$$

$$T(t) = \frac{1}{2} \{\ddot{u}\}_L^T [M]_{eL} \{\ddot{u}\}_L \quad (3-71)$$

เมื่อแทนแมทริกซ์ $\{u\}_L$ จากสมการ (3-69) ลงในสมการ (3-70) และ (3-71) จะได้

$$\begin{aligned} V(t) &= \frac{1}{2} \{\dot{u}\}_G^T [P]^T [K]_{eL} [P] \{u\}_G \\ T(t) &= \frac{1}{2} \{\ddot{u}\}_G^T [P]^T [M]_{eL} [P] \{\ddot{u}\}_G \\ V(t) &= \frac{1}{2} \{\dot{u}\}_G^T [K]_{eG} \{u\}_G \\ \text{หรือ} \\ T(t) &= \frac{1}{2} \{\ddot{u}\}_G^T [M]_{eG} \{\ddot{u}\}_G \\ [K]_{eG} &= [P]^T [K]_{eL} [P] \\ [M]_{eG} &= [P]^T [M]_{eL} [P] \end{aligned} \quad (3-72)$$

จากสมการ (3-69) และ (3-72) เมทริกซ์ $[K]_{eG}$ ของอเลี่ยมันต์ e คือ

$$[K]_{eG} = \frac{EA}{L} \begin{bmatrix} c^2 & cs & -c^2 & -cs \\ cs & s^2 & -cs & -s^2 \\ -c^2 & -cs & c^2 & cs \\ -cs & -s^2 & cs & s^2 \end{bmatrix} \quad (3-73)$$

ส่วนแมทริกซ์ $[M]_{eG}$ ของอเลี่ยมันต์ e หาได้โดยแทนสมการ (3-69) ลงใน (3-72) จะได้

$$[M]_{eG} = \frac{\rho AL}{6} \begin{bmatrix} 2c^2 & 2cs & c^2 & cs \\ 2cs & 2s^2 & cs & s^2 \\ c^2 & cs & 2c^2 & 2cs \\ cs & s^2 & 2cs & 2s^2 \end{bmatrix} \quad (3-74)$$

3.6 เมทริกซ์อเลี่ยมันต์ของงานที่ถูกกระทำด้วยโน้ม-menต์คัด

จากหัวข้อก่อนๆ ได้กล่าวถึงอเลี่ยมันต์ของงานที่อยู่ภายใต้การกระทำการของแรงในแนวแกนซึ่งทำให้จุดต่อของอเลี่ยมันต์มีระดับความเสรีขึ้นเดียว และเมื่อคิดในระบบแกนรวมใหญ่ จะได้ว่าแต่ละจุดต่อของอเลี่ยมันต์จะมีระดับความเสรีสองขั้น สำหรับในการณ์ของอเลี่ยมันต์ที่ถูกกระทำการด้วยโน้ม-menต์คัดแต่ละจุดต่อของอเลี่ยมันต์จะมีระดับความเสรีสองขั้นในระบบแกนย่ออย และ

ระบบแกนรวมใหญ่ แต่ถ้านำเออลิเมนต์ที่ถูกกระทำด้วยแรงในแนวแกนมารวมด้วยแล้วก็จะทำให้แต่ละจุดต่อของเออลิเมนต์มีระดับความเรื้อรานขึ้นทั้งในระบบแกนย่อยและระบบแกนรวมใหญ่

3.7 พังก์ชันการประมาณของเออลิเมนต์

พิจารณาปีที่ 23 เอลิเมนต์คานยาว L ถูกกระทำด้วยโมเมนต์ดัดที่จุดต่อห้องสองที่จุดต่อที่ 1 ถูกกระทำด้วยโมเมนต์ดัด M_1 ทำให้เกิดการกระจัดทางแกน y เป็น v_1 และหมุนไปเป็นมุม θ_1 ส่วนที่จุดต่อที่ 2 ถูกกระทำด้วยโมเมนต์ดัด M_2 ทำให้เกิดการกระจัดเป็น v_2 และหมุนไปเป็นมุม θ_2 จะเห็นได้ว่าเออลิเมนต์ในกรณีนี้จะมี 2 ตัวแปรต่อจุดต่อคือ v และ θ ทำให้พังก์ชันการประมาณภายใต้โมเมนต์ไม่สามารถใช้ได้ เพราะพังก์ชันการประมาณ ใช้ได้กับเออลิเมนต์ที่มี 1 ตัวแปรต่อจุดต่อเท่านั้น ดังนั้นในกรณีจะหาพังก์ชันการประมาณโดยพิจารณาจากทฤษฎีการสั่นสะเทือนของคานที่อยู่ภายใต้โมเมนต์ดัด โดยใช้สมการ

$$\frac{\partial^2}{\partial x^2} \left[EI(x) \frac{\partial^2 y(x,t)}{\partial x^2} \right] = -\rho A(x) \frac{\partial^2 y(x,t)}{\partial t^2}$$

และสมมติว่าคานไม่มีการสั่นสะเทือนและคาน

$$\frac{\partial^2 y(x,t)}{\partial t^2} = 0$$

สมดุล ดังนั้นความเร่ง $\frac{\partial^2 y(x,t)}{\partial t^2} = 0$ และสมมติอีกว่าคานมีพื้นที่หน้าตัดสนิมเสมอ และเปลี่ยน

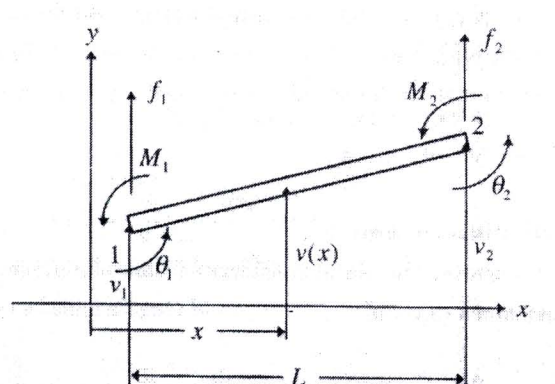
$$\frac{\partial^2}{\partial x^2} \left[EI(x) \frac{\partial^2 y(x,t)}{\partial x^2} \right] = -\rho A(x) \frac{\partial^2 y(x,t)}{\partial t^2}$$

จากการกระจัดจาก y เป็น v ดังนั้นสมการ $EI \frac{\partial^4 v(x,t)}{\partial x^4} = 0$ จะได้เป็น

$$EI \frac{\partial^4 v(x,t)}{\partial x^4} = 0 \quad (3-75)$$

เมื่ออินทิเกรต 4 ครั้งจะได้

$$v(x,t) = \frac{1}{6} C_1 x^3 + \frac{1}{2} C_2 x^2 + C_3 x + C_4 \quad (3-76)$$



ภาพที่ 23 เอลิเมนต์คานอยู่ภายใต้การกระทำของโมเมนต์ดัดที่จุดต่อห้องสอง (ธนู นุยฉาย, 2541)



จากรูป 23 คานมีเงื่อนไขที่จุดต่อทั้งสองเป็น

$$\begin{aligned} v(0, t) &= v_1 & v(L, t) &= v_2 \\ \frac{\partial v(0, t)}{\partial x} &= \theta_1 & \frac{\partial v(L, t)}{\partial x} &= \theta_2 \end{aligned}$$

เมื่อแทนเงื่อนไขที่ขوبลงในสมการ (3-76) จะหาค่าคงที่ต่างๆ ของสมการ (3-76) ได้เป็น

$$\begin{aligned} C_1 &= \frac{6}{L^3} (2v_1 + L\theta_1 - 2v_2 + L\theta_2) \\ C_2 &= \frac{2}{L^2} (-3v_1 - 2L\theta_1 + 3v_2 - L\theta_2) \\ C_3 &= \theta_1 \\ C_4 &= v_1 \end{aligned}$$

เมื่อแทนค่าคงที่กลับลงในสมการ (3-76) ได้

$$\begin{aligned} v(x, t) = & \left[1 - 3\left(\frac{x}{L}\right)^2 + 2\left(\frac{x}{L}\right)^3 \right] v_1 + \left[\frac{x}{L} - 2\left(\frac{x}{L}\right)^2 + \left(\frac{x}{L}\right)^3 \right] L\theta_1 \\ & + \left[3\left(\frac{x}{L}\right)^2 - 2\left(\frac{x}{L}\right)^3 \right] v_2 + \left[-\left(\frac{x}{L}\right)^2 + \left(\frac{x}{L}\right)^3 \right] L\theta_2 \end{aligned} \quad (3-77)$$

$$v(x, t) = N_1(x)v_1 + N_2(x)\theta_1 + N_3(x)v_2 + N_4(x)\theta_2$$

หรือ $v(x, t) = \{N(x)\}^T \{v\}$ (3-78)

$$\{N(x)^T\} = [N_1 \quad N_2 \quad N_3 \quad N_4]$$

โดยที่ $\{v\}^T = [v_1 \quad \theta_1 \quad v_2 \quad \theta_2]$ (3-79)

- เมทริกซ์มวลของอเลี่ยมต์

ในการหาเมทริกซ์มวลของอเลี่ยมต์คานในกรณีนี้จะหาได้เช่นเดียวกันกับวิธี ก่อนๆ โดยคิดจากพลังงานจนน์ของคานจากสมการ (3-58) ได้

$$T(t) = \frac{\rho A}{2} \int_0^L \{\dot{v}\}^T \{N(x)\} \{N(x)\}^T \{\dot{v}\} dx \quad (3-80)$$

หรือ $T(t) = \frac{1}{2} \{\dot{v}\}^T [M]_e \{\dot{v}\}$ (3-81)

โดยที่ $[M]_e = \rho A \int_0^L \{N(x)\} \{N(x)\}^T dx$ (3-82)

เมื่อแทนสมการ (3-78) ลงในสมการ (3-82) ได้

$$\begin{aligned}
 [M]_e &= \rho A \int_0^L \left[\begin{array}{c} 1 - 3\left(\frac{x}{L}\right)^2 + 2\left(\frac{x}{L}\right)^3 \\ \frac{x}{L} - 2\left(\frac{x}{L}\right)^2 + \left(\frac{x}{L}\right)^3 \\ 3\left(\frac{x}{L}\right)^2 - 2\left(\frac{x}{L}\right)^3 \\ -\left(\frac{x}{L}\right)^2 + \left(\frac{x}{L}\right)^3 \end{array} \right] \left[\begin{array}{c} 1 - 3\left(\frac{x}{L}\right)^2 + 2\left(\frac{x}{L}\right)^3 \\ \frac{x}{L} - 2\left(\frac{x}{L}\right)^2 + \left(\frac{x}{L}\right)^3 \\ 3\left(\frac{x}{L}\right)^2 - 2\left(\frac{x}{L}\right)^3 \\ -\left(\frac{x}{L}\right)^2 + \left(\frac{x}{L}\right)^3 \end{array} \right]^T dx \\
 \therefore [M]_e &= \frac{\rho AL}{420} \begin{bmatrix} 156 & 22 & 54 & -13 \\ 22 & 4 & 13 & -3 \\ 54 & 13 & 156 & -22 \\ -13 & -3 & -22 & 4 \end{bmatrix} \quad (3-83)
 \end{aligned}$$

สมการ (3-83) เป็นเมทริกซ์มวลของอเลิเมนต์คานที่ถูกกระทำด้วยโนเมนต์คักที่จุดต่อทั้งสอง

- เมทริกซ์สปริงของอเลิเมนต์

สำหรับเมทริกซ์สปริงของอเลิเมนต์คานที่ถูกกระทำด้วยโนเมนต์คักที่จุดต่อทั้งสอง จะหาได้จาก

พลังงานศักย์ โดยใช้สมการ โดยสมมติว่าคานมีพื้นที่หน้าตัดสม่ำเสมอ และการกระจักรในแนวแกน y เป็น $v(x, t)$ จะได้

$$V(t) = \frac{EI}{2} \int_0^L \left(\frac{\partial^2 v(x, t)}{\partial x^2} \right)^2 dx \quad (3-84)$$

แทนสมการ (3-78) ลงใน (3-84) ได้

$$V(t) = \frac{EI}{2} \int_0^L \{v\}^T \{N''(x)\} \{N''(x)\}^T \{v\} dx \quad (3-85)$$

$$[K]_e = EI \int_0^L \{N''(x)\} \{N''(x)\}^T dx \quad (3-86)$$

จากสมการ (3-77) อนุพันธ์อันดับที่สองของฟังก์ชันรูปร่างคือ

$$\{N''(x)\} = \frac{2}{L_2} \begin{Bmatrix} -3 + 6\frac{x}{L} \\ -2 + 3\frac{x}{L} \\ 3 - 6\frac{x}{L} \\ -1 + 3\frac{x}{L} \end{Bmatrix} \quad (3-87)$$

แทนสมการ (3-87) ในสมการ (3-86) ได้

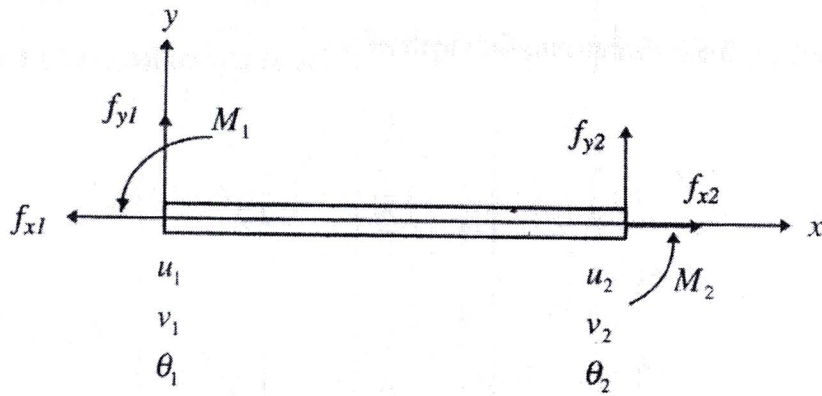
$$[K]_e = \frac{4EI}{L^4} \int_0^L \begin{Bmatrix} -3 + 6\frac{x}{L} \\ -2 + 3\frac{x}{L} \\ 3 - 6\frac{x}{L} \\ -1 + 3\frac{x}{L} \end{Bmatrix} \begin{Bmatrix} -3 + 6\frac{x}{L} \\ -2 + 3\frac{x}{L} \\ 3 - 6\frac{x}{L} \\ -1 + 3\frac{x}{L} \end{Bmatrix}^T dx$$

$$[K]_e = \frac{EI}{L^3} \begin{bmatrix} 12 & 6 & -12 & 6 \\ 6 & 4 & -6 & 2 \\ -12 & -6 & 12 & -6 \\ 6 & 2 & -6 & 4 \end{bmatrix} \quad (3-88)$$

สมการ (3-88) เป็นเมตริกซ์มวลของอเลดิเมนต์คานที่ถูกกระทำด้วยโมเมนต์คัดที่จุดต่อทั้งสองของคาน

จากภาพที่ 24 และจากสมการ (3-83) และสมการ (3-88) เมื่อนำมาเขียนให้เป็นสมการเชิงอนุพันธ์ของการเคลื่อนที่ที่ปลายของคานเป็น

$$\frac{\rho AL}{420} \begin{bmatrix} 156 & 22 & 54 & -13 \\ 22 & 4 & 13 & -3 \\ 54 & 13 & 156 & -22 \\ -13 & -3 & -22 & 4 \end{bmatrix} \begin{Bmatrix} \ddot{v}_1 \\ \ddot{\theta}_1 \\ \ddot{v}_2 \\ \ddot{\theta}_2 \end{Bmatrix} + \frac{EI}{L^3} \begin{bmatrix} 12 & 6 & -12 & 6 \\ 6 & 4 & -6 & 2 \\ -12 & -6 & 12 & -6 \\ 6 & 2 & -6 & 4 \end{bmatrix} \begin{Bmatrix} v_1 \\ \theta_1 \\ v_2 \\ \theta_2 \end{Bmatrix} = \begin{Bmatrix} f_1 \\ M_1 \\ f_2 \\ M_2 \end{Bmatrix} \quad (3-89)$$



ภาพที่ 24 คานที่มีระดับความเสรีสามขั้นต่อจุดต่อ (ธน นุยนายน, 2541)

และเมื่อนำมาเขียนทริกซ์ของอเลิม.enต์ในกรณีของการอยู่ภายใต้โนเมนต์ดัดไปรวมกับ
เมทริกซ์ของอเลิม.enต์ของคานที่อยู่ภายใต้แรงตามแนวแกน ก็จะทำให้คานมีระดับความเสรีสามขั้น
ต่อจุดต่อ ซึ่งจะทำให้ได้เมทริกซ์ของอเลิม.enต์ของมวลและสปริงเป็น

$$[M]_e = \frac{\rho A L}{420} \begin{bmatrix} 140 & 0 & 0 & 70 & 0 & 0 \\ 0 & 156 & 22 & 0 & 54 & -13 \\ 0 & 22 & 4 & 0 & 13 & -3 \\ 70 & 0 & 0 & 140 & 0 & 0 \\ 0 & 54 & 13 & 0 & 156 & -22 \\ 0 & -13 & -3 & 0 & -22 & 4 \end{bmatrix} \quad (3-90)$$

$$[K]_e = \begin{bmatrix} \frac{EA}{L} & 0 & 0 & -\frac{EA}{L} & 0 & 0 \\ 0 & \frac{12EI}{L^3} & \frac{6EI}{L^3} & 0 & -\frac{12EI}{L^3} & \frac{6EI}{L^3} \\ 0 & \frac{6EI}{L^3} & \frac{4EI}{L^3} & 0 & -\frac{6EI}{L^3} & \frac{2EI}{L^3} \\ -\frac{EA}{L} & 0 & 0 & \frac{EA}{L} & 0 & 0 \\ 0 & -\frac{12EI}{L^3} & -\frac{6EI}{L^3} & 0 & \frac{12EI}{L^3} & -\frac{6EI}{L^3} \\ 0 & \frac{6EI}{L^3} & \frac{2EI}{L^3} & 0 & -\frac{6EI}{L^3} & \frac{4EI}{L^3} \end{bmatrix} \quad (3-91)$$

และเวกเตอร์ของการเคลื่อนที่ของปลายคือ

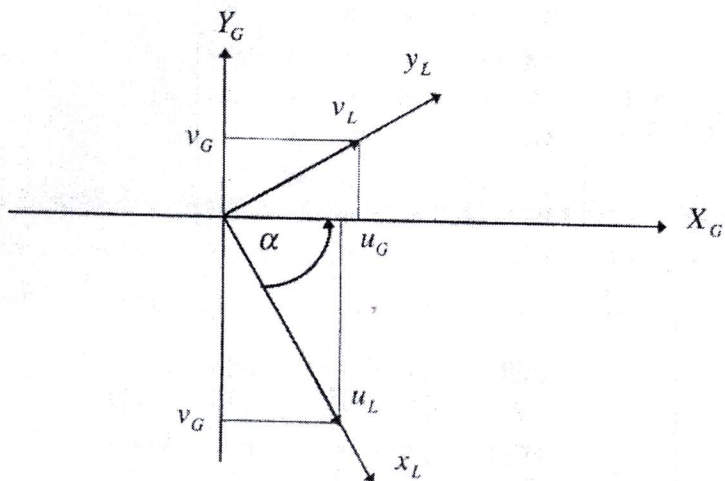
$$\{v\}^T = [u_1 \ v_1 \ \theta_1 \ u_2 \ v_2 \ \theta_2] \quad (3-92)$$

3.8 เอลิเมนต์ในระบบแกนรวมใหญ่

ในกรณีที่เอลิเมนต์อ้างทำมุม α กับระบบแกนใหญ่ จำเป็นที่จะต้องแปลงเอลิเมนต์จากระบบแกนย่อยไปเป็นระบบแกนใหญ่เสียก่อน ในกรณีนี้ระบบของการแปลงการเคลื่อนตัวที่ปลายของคานจะแตกต่างจากหัวข้อ 3.3.6 เมื่อจากคานมีการเคลื่อนตัวไปทั้งแกน x และ y ดังนั้น เมทริกซ์การแปลงจะหาได้โดยพิจารณาจากภาพที่ 25 ซึ่งกำหนดการเคลื่อนตัวในระบบแกนย่อยเทียบกับระบบแกนรวมใหญ่ ได้เป็น

$$u_L = u_G \cos \alpha - v_G \sin \alpha$$

$$v_L = u_G \sin \alpha + v_G \cos \alpha$$



ภาพที่ 25 ลักษณะการเคลื่อนตัวที่จุดต่อในระบบแกนย่อยเทียบกับระบบแกนรวมใหญ่

(ธนู นุยฉาย, 2541)

และเมทริกซ์การแปลงเมื่อคิดการหมุนตัวของจุดต่อไปเป็นมุม θ ด้วยจะได้

$$\begin{Bmatrix} u_L \\ v_L \\ \theta_L \end{Bmatrix} = \begin{bmatrix} \cos\alpha & -\sin\alpha & 0 \\ \sin\alpha & \cos\alpha & 0 \\ 0 & 0 & 1 \end{bmatrix} \begin{Bmatrix} u_G \\ v_G \\ \theta_G \end{Bmatrix} \quad (3-93)$$

และสำหรับอelistメンต์คานที่มีสองจุดต่อจะกำหนดสมการ (3-93) ใหม่ได้เป็น

$$\begin{Bmatrix} u_{L1} \\ v_{L1} \\ \theta_{L1} \\ u_{L2} \\ v_{L2} \\ \theta_{L2} \end{Bmatrix} = \begin{bmatrix} c & -s & 0 & 0 & 0 & 0 \\ s & c & 0 & 0 & 0 & 0 \\ 0 & 0 & 1 & 0 & 0 & 0 \\ 0 & 0 & 0 & c & -s & 0 \\ 0 & 0 & 0 & s & c & 0 \\ 0 & 0 & 0 & 0 & 0 & 1 \end{bmatrix} \begin{Bmatrix} u_{G1} \\ v_{G1} \\ \theta_{G1} \\ u_{G2} \\ v_{G2} \\ \theta_{G2} \end{Bmatrix} \quad (3-94)$$

$$\{u\}_L = [P]\{u\}_G$$

โดยที่ $c = \cos\alpha, s = \sin\alpha$

เมทริกซ์ของอelistメンต์คานที่เอียงทำมุม α กับระบบแกนรวมให้ลู่จะกำหนดได้ เช่นเดียวกันกับสมการ (3-72) คือ

$$[K]_{eG} = [P]^T [K]_{eL} [P]$$

$$[M]_{eG} = [P]^T [M]_{eL} [P]$$

โดยที่

$$[P] = \begin{bmatrix} c & -s & 0 & 0 & 0 & 0 \\ s & c & 0 & 0 & 0 & 0 \\ 0 & 0 & 1 & 0 & 0 & 0 \\ 0 & 0 & 0 & c & -s & 0 \\ 0 & 0 & 0 & s & c & 0 \\ 0 & 0 & 0 & 0 & 0 & 1 \end{bmatrix}$$

ส่วน $[K]_{eL}$ และ $[M]_{eL}$ กำหนดได้จากสมการ (3-90) และ (3-91) ตามลำดับ